



Статья

Исследование т рехмерного многок ласт ерного ГРП Моделирование под воздейст вием ест ест венных т рещин

Ю Ган Ли 1, Минъя н Ву 2, Хаоюн Хуан 3,4,*, Инь т ун Го 2, Юйц зе Ван 5, Цзюнь ч уань Гуй 3,4 и Цзюнь Лу 6

- 1 Chongqing Shale Gas Exploration and Development Co., Ltd., Чунц ин 401120, К ит ай; li_yg@petrochina.com.cn 2 Госуд арст венная
- к люч евая лаборат ория геомеханик и и геот ехнич еск ой инженерии, Ухань ск ий инст ит ут механик и горных пород и грунт ов, К ит айск ая ак ад емия наук, Ухань 430071, К ит ай; wmy@cqu.edu.cn (MW); ytguo@whrsm.ac.cn (YG)
- 3 Науч но-исслед оват ель ский инст ит ут сланц евого газа Юо-запад ной нефт егазовой к омпании PetroChina, Чэнду 610051, К ит ай; guijunchuan@petrochina.com.cn
- 4 Сын уань ская ключевая лаборатория по оценке и разработ ке сланцевого газа, Чэнду 610051,
- К ит ай 5 PetroChina Southwest Oil and Gas Field Company, Чэнд у 610051, К ит ай 6
- Инст ит ут глубинных наук о Земле и зеленой энергии, К оллед ж гражд анск ого и т ранспорт ного машиност роения, Шэнь ч жэнь ск ий университ ет, Шэнь ч жэнь
- 518060 , К ит ай; junlu@szu.edu.cn * Переписк a: huang_hy@petrochina.com.cn

Аннот ация: Муль тик ласт ерный ГРП стал эффективным методом повышения продуктивност и глубок их сланцевых коллекторов. Наличие естественных плоскостей напластования в этих коллекторах играет значитель нуюроль в формировании эволюции и развития многокластерных трещин ГРП.

Поэт ому провед ение д ет аль ных исслед ований механиз мов распрост ранения муль т ик ласт ерных гид рораз рывов в глубок их сланцевых пластах имеет решающее з начение для оптимизации эффективности трансформации к оллектора и достижения эффек т ивных резуль т ат ов разработ к и. В эт ом исслед овании исполь зует ся мет од к онеч ных диск рет ных элемент ов (FDEM) для построения комплексной трехмерной имитационной модели многокластерного гидроразрыва с учетом количества присут ст вующих ест ест венных т рещин и геомеханич еск их харак терист ик ц елевого блок а. Распрост ранение гид рораз рывов исслед ует ся в зависимост и от к олич ест ва ест ест венных т рещин и дизайна операц ий муль т ик ласт ерного разрыва пласта. Результатымоделирования показывают, ч то, в соответствии с предыдущими исследования ми по трещиноватости в сланцевых месторождения х нефтиигаза, увеличение количества кластеров трещин и естественных трещин приводит к увелич ению общей площади, пок рыт ой иск усст венными трещинами, и раз вит июболее сложных струк тур трещин. К роме того, наст оя щее исслед ование под ч ерк ивает, ч т о увелич ение к олич ест ва к ласт еров т рещиноват ост и привод ит к замет ному умень шению сбалансированного расширения двойных к рыль ев основной т рещинывнут ри пласта. Вмест о эт ого эффекты ест ест венных трещин, геонапря жения и других факторов способствуют усилению так их я влений, как расширение одного к рыла, бифурк ац ия и из гиб различных основных трещин, способствуя созданию сложных сетей иск усственных трещин. Важно от мет ит ь , ч т о налич ие ест ест венных т рещин т ак же может сущест венно из менит ь режим раз рушения иск усст венных т рещин, ч т о пот енц иаль но может привест и к образ ованиюнеболь ших от к рывающихся сдвиговых т рещин, ч т о т ребует т щат ель ной оц енк и общего воздейст вия рек онструк ц ии. Более т ого, данное исследование пок азывает, ч т о даже по сравнениюс однок ласт ерной т рещиноват ост ь юналич ие в регионе 40 ест ест венных магист раль ных т рещин может привест и к развитиюмножественных ветвя щихся магистральных трещин. Этот вывод подчерк ивает важность учета ественных т рещин при операц ия х глубок ого разрыва пласта. В заключение, результатыэт ого исследования дают ценную информацию для оптимизации процессов глубокого разрыва пласта в сценария х, где естественные трещины играют жизненно важную роль в формировании трешин.

Ц ит ирования: Ли, Ю, Ву, М; Хуанг, Х.; Го, Ю, Ван, Ю, Гуй, Дж; Лу, Дж. Исследования т рехмерного моделирования многок ласт ерного гид рораз ръва под влия нием природных

Переломы Прил. наук . 2024, 14, 6342. https://

doi.org/10.3390/app14146342.

Академический редактор:Тья го Миранда

Поступила: 26 мая 2024 г. Пересмот рено: 9 июля 2024 г. Приня то: 19 июля 2024 г.



К опирайт : © 2024 авт оров. Лиcensee MDPI, Базель , Швейц ария

Эт а ст а т ь я находит ся в от к рът ом дост упе. распрост раня ет ся на условия х и к онположения ми Creative Commons At-

лиц енз ия на распрост ранение (СС BY) (https://creativecommons.org/licenses/by/4.0/). К люч евье слова: муль т ик ласт ерный ГРП; глубок ие вод оемы ФДЕ М; высок ая геонапря женность; распрост ранение т рещины

1. Введ ение

Нефт я нье и газовье ресурсыпродолжают играть знач ит ель нуюроль в мировой энергет ич еск ой сфере. Поэт ому сущест вует ост рая необходимость увелич ения добы и и исполь зования эт их ресурсов [1]. Запасысланц евой нефт и и газа на глубинах более 3500 м сост авля ют огромнуюдолю современной энергет ич еск ой ст рук т уры Опт имизац ия ст роит ель ст ва и эк сплуат ац ии глубок их запасов нефт и и газа с помощь ют ак их т ехнологий ст роит ель ст ва, к ак многок ласт ерный разрыв пласт а, я вля ет ся необходимым средст вом дост ижения эффек т ивной эк сплуат ац ии глубок их запасов нефт и и газа [2]. Примеч ат ель но, ч т о глубок ие залежи нефт и и газа ч аст о вст реч ают ся в высок онапря женных средах со сложными харак т ерист ик ами т рещиноват ост и (прерывист ые ст рук т уры) так ие к ак напласт ования, т рещины и т решины образованные сед имент ац ионными и т ек т онич еск ими проц ессами глубок их рез ервуаров) [3]. , ч т о сущест венно влия ет на эффек т ивност ь т рансформац ии пласт а [4,5] Поэт ому углубленное из уч ение влия ния ест ест венных т рещин на т ехнологиюст роит ель ст ва МГРП глубок их залежей нефт и и газа имеет боль шое з нач ение для разработ к и глубок их ресурсов нефт и и газа.

Для изучения распространения трещин гидроразрываможно использовать как теоретические решения, так и лаборат орные испытания. За прошедшие годы посредством теорет ических выводов были созданыразлич нье модели теорет ическ их решений, так ие как модель KGD, модель PKN и модель Пенни и д ругие [2,6-10]. Межд у т ем, нек от орые уч еные в своих исслед ования х обнаружили, ч т о в пласт е может существовать несколько механизмовконтроля из-завлияния вязкости разрушения и ск орост и нагнет ания т рещин в пород ах-к оллек т орах. Так им образом, была получ ена т еорет ич еск ая модель распространения искусственных трещин в пластах подвоздействием комплексных параметров, таких как контроль вя зкости и контроль ударной вя зкости. Однако в теоретич еских выводах част о пред полагает ся, что порода-к оллект ор пред ставля ет собой од нород ную и из от ропную среду, аэто означает, что влия ние естественных трещин и рост многочисленных групптрещин не могут быть уч тены Конечно, ученые также провели обширные исследования физического моделирования с исполь з ованием лаборат орных эк сперимент аль ных мет од ов [5,11-15]. На нач аль ных эт апах преимущест венно исполь з овались т рад иц ионные т рехосные сист емынаг ружения , ориент ированные на влия ние геонапря жения пласта путем к онтроля окружающей породы и осевого давления. Однак о реаль нье рез ервуарыобыч но испытывают стрессовые условия при ист инном трехосном напря жении, ч то побуд ило нек от орых исслед оват елей раз работ ать аут ент ич нье т рехосные эк сперимент аль нье установки для моделирования трещиноватости от одного до нескольких кластеров. Благодаря эт им эк сперимент ам они смогли получ ит ь пред ставление о зак ономерностя х распространения иск усственных Тем не менее, воспроиз ведение воз действия естественных трещин в лабораторных условия х ок азывает ся сложной задач ей, и необход имыдаль нейшие исследования для переноса резуль татов в масштабах образцов в сценарии в масштабах резервуара. Следователь но, растет интереск мод елированию гид рораз рыва пласт а в масшт абе пласт а [16,17].

Принц ип муль т ик ласт ерного ГРП в плот ньх к оллек т орах пок аз ан на рисунк е 1. Этот метод включает в себя создание множества сетей гидроразрывов в различных блок ах пласта пут ем стратегического определения нескольких позиций перфорации и регулирования распределения жидк ост и по различ ным кластерам. Главной цель юя вляется повышение проницаемост и коллектора и сод ейст вие э ффек т ивной раз работ к е. Мод елирование раннего раз рьва пласт а в основном осущест вля лось с помощь юмет одов к онеч ных элемент ов. В даль нейшем, уч ит ывая , ч т о породы к оллек торыпредставля ют собой разрывную среду, были последоват ель но предложены нек от орые новые мет одыч исленного моделирования, так ие как расширенный мет од конеч ных элемент ов [18], мет од дисперсии пот ок а ч аст иц [19,20], блоч ньй мет од диск рет ньх элемент ов [2].], мет од разрывных элемент ов [21], мет од к онеч ных диск рет ных элемент ов (FDEM) [22] и др. Эт и мет одыпозволя ют более точ но прогнозировать эффект конструкции разрыва пласта целевого пласт а, но они имеют различ нье преимущест ва и огранич ения . Например, расширенный мет од к онеч ньх элементов использует виртуальные функции для построения прерывистого поля перемещений, к от орое может моделировать я вление отклонения и распространения трещинывнутри элемента, но сложно моделировать влия ние естественных трещин и других факторов. например, бифуркация перелома. Мет од элемент а дисперсии пот ок а ч аст иц имеет превосходные результаты при моделировании т рещиноват ост и к оллек т ора на мик ромасшт абе, но обыч но пред полагает ся , ч т о к оллек т ор сост оит из частиц, что имеет боль шое значение.

Прил. наук . 2024, 14, 6342 3 из 21

вын ислитель нье ограничения и больше не подходят для анализа моделирования в масштабе рез ервуара [23,24]. Мет од блоч нък диск рет нък элемент ов и мет од к онеч нък диск рет нък элемент ов, раз работ анные в послед ние годы эффект ивно решили огранич ения масштаба, что позволя ет луч ше моделировать и оценивать трещиноватость пласта на микро-и макромасштабах. Срединих метод к онеч ных диск ретных элементов [25] предполагает, что коллектор состоит из блоков горных породи их трещиноватых границ раздела (рис. 1). Элементыблок ов породыисполь зуются для моделирования деформационных характеристик матрицыколлектора в процессе гидроразрыва, а элементыинтерфейса – для моделирования распространения искусственных трещин в пласте. Между тем, с годами разработки характеристики естественных трещин в коллекторах можно описать путем из менения таких параметров, как прочность и жесткость различных элементовинтерфейса, тем самым достигая моделирования т рещиноват ост и в к оллек т орах, содержащих ест ест венные т рещины На основе мет ода FDEM Wu et al. [26] провели исслед ование по мод елированию гид рораз рыва пласт а с уч ет ом ест ест венной границ ыраз д ела напласт ований и т рещин в горных породах. Их резуль татыпод т вердили жиз неспособность исполь з ования FDEM для моделирования образования трещин в горных породах, содержащих так ие природные особенност и. К роме т ого, они раз работ али мод ели гид рораз рыва пласт а для пласт ов с уч ет ом различ ных неоднородных структур и провели деталь ный анализ влия ния так их факторов, как ест ест венные диск рет ные т рещиныи к рупные з аглубленные блок и горных пород, на распрост ранение гид рораз рывов [27].

Так им образом, проведение моделирования трещиноватост и в трещиноватых к оллек торах с исполь зованием FDEM оказывается эффективным методом выя вления поведения распространения гидравлическ их трещины в породах-к оллек торах, содержащих естественные трещины

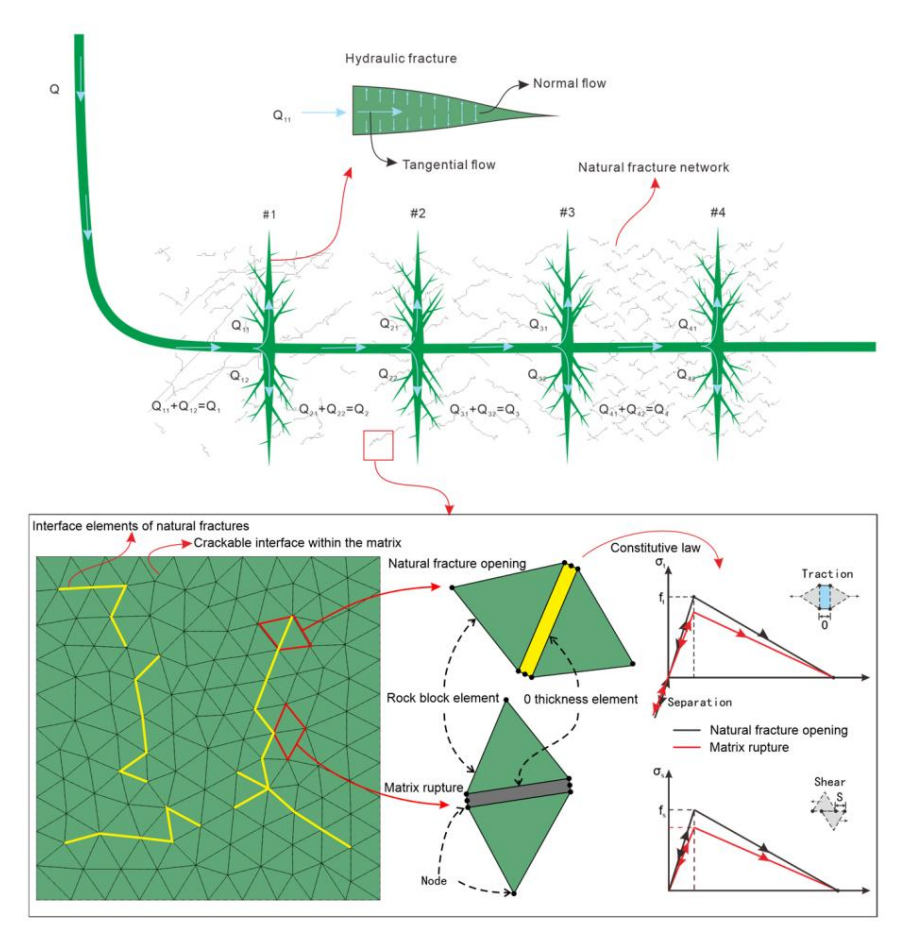


Рис. 1. Принц ипиаль ная схема муль т ик ласт ерного раз рыва пласт а и принц ипа FDEM.

На основе мет ода к онеч ных диск рет ных элемент ов (FDEM) в данной стать е создана т рехмерная модель многок ласт ерного гид роразрыва с уч ет ом к олич ест ва ест ест венных т рещин. Для сист емат ич еск ого анализа зак она расширения исполь зовались т радиционные к олич ест венные парамет ры так ие к ак площадь т рещины длина т рещиныи мак сималь ная апертура т рещины

иск усст венных т рещин под совмест ным воз дейст вием ест ест венных т рещин и муль т ик ласт ерного т рещиноват ост и. Численная модель, рез уль т ат ысравнит ель ного анализ а и вывод ыпред ст авленыв раз делах 2, 3 и 4 соот вет ст венно.

2. Численная модель

В этой стать е для построения модели FDEM используются связные элементыи элементыблок ов горных пород [28–30] и разделяются связные элементына связные элементывнутри матрицыи связные элементы представляющие естественные трещины что обеспеч ивает моделирование многок ластерного разрыва пластов, содержащих естественные трещины. Подробные уравнения моделирования следующие.

2.1. Мет од моделирования

Мультик ластерный гидроразрыв пласта представля ет собой типич ный процесс соединения флюидных структур, к оторый включает взаимодействие флюидов и твердых тел. При рассмотрении взаимодействия жидкости и твердого тела во время ГРП уравнение баланса напря жений ГРП может быты выражено к ак [31] (

$$\sigma_{\Pi_{\sqcup}}$$
 δ δ δ δ δ δ δ δ

где – мат рица эффект ивных напря жений, МПа; обоз нач ает поровое давление, МПа; / – мат рица ск орост ей вирт уаль ной деформации; – мат рица поверхност ных сил, Н/м2; (м/с) и (Н/м3) — мат рица вирт уаль ной ск орост и и мат рица физ ическ ой силы

В процессе гид рораз ръва плотность жид к ости и пористость матрицывлия ют на поведение жид к ости внутри пласта. Уравнение непреръвност и жид к ости от ражает сохранение массыво время этого процесса, обеспеч ивая математическое представление движения и распределения жид к ости. Это позволя ет более точ но описать динамик у движения жид к ости в пласте [32].

$$\frac{A}{A^{T}} = \frac{\rho_{\underline{\underline{\underline{U}}}}}{\rho_{\underline{\underline{U}}}^{0}} \operatorname{ndV} + \frac{\rho_{\underline{\underline{U}}}}{\rho_{\underline{\underline{U}}}^{0}} \operatorname{HB} A_{\underline{\underline{U}}}$$

где представля ет собой коэффициент из менения объема, без раз мерный; – плотность жидкости, кг/м3; – коэффициент пустотности, без раз мерный; – скорость просач ивания жидкости, м/с.

Важно от мет ить, что процесс гидроразрыватак же включает в себя влияние просачивания жидкост и внутри матрицы Фильтрационное поведение пород-коллекторов во время гидроразрываможно рассчитать с помощью закона Дарси, который определяет скорость и расход флюидов с помощью таких факторов, как вязкость жидкости, проницаемость и градиент давления [33]:

где представля ет собой матрицу проницаемости, м/с, а - векторускорения силытя жести, м/с2.

К огда жидкость нач инает просач иваться в массив породык оллектора, приток жидкости приведет к повышению порового давления, что, как следствие, будет способствовать распространению микротрещин. Приня то сч итать, что до открытия гидроразрывов когезионные элементы, используемые для моделирования гидроразрывов, подчиняются линейно-упругому соотношению [6],

$$\sigma_{\text{kox}} = \begin{array}{c} \sigma_{\text{Hy,} \underline{\text{A}} a} \\ \sigma_{\text{kox}} = K & K & K & K \\ \sigma_{\text{kox}} = K & K & K & K \\ \sigma_{\text{kox}} = K & K & K & K \\ \kappa_{\text{o}} = K & K & K & K \\ \kappa_{\text{o}} = K \\ \kappa_{\text{o}$$

где обоз нач ает век т ор напря жений; к асат ель ное , — нормаль ное напря жение, первое напря жение и вт орое к асат ель ное напря жение соот вет ст венно. Зд есь , обоз нач ает жест к ост ь

мат рица; представля МАТОЖИН АОДАСНО РУЮЩЕФИЙРАНЦИЮ первуют ангенциальную деформацию и вторуют ангенциальную деформацию соот ветственно. Они определяются следующим образом [25]:

$$\varepsilon \varepsilon \varepsilon_{Hy, Aa} = \frac{A_{H} C_{L} A}{7 7 7} \tau_{OND} \tau_{OND} \qquad (5)$$

где , пред ставля ют собой нормаль ное смещение, первое смещение и второе и тангенц иаль ное смещение соот вет ственно. Здесь – к онститут ивная толщина.

При продолжении закачки жидкости в массиве пород-коллекторов постепенно будут возникать гидравлические трещины и это я вление можно смоделировать путем моделирования повреждения и выхода из строя элементов интерфейса. При повреждении элемента интерфейса значитель но снижается противодеформационная способность элемента интерфейса, что приводит к быстрому раскрытиют рещин гидроразрыва. Наличие или отсутствие элементов интерфейса можно определить по следующей формуле [34]:

$$\frac{\left\langle \sigma_{H} \right\rangle^{2}}{\sigma_{H-CT}^{0.00}} = \frac{\sigma_{c}}{\sigma\sigma}^{2} = \frac{\sigma_{c}^{2}}{++=} \lambda \tag{6}$$

где нормаль ное напря жение; , представля ют собой к асатель ное напря жение, МПа; , пороговое являются напря жение, МПа; указывает нато, что когезионные элементы сопротивляются напря жению растя жения, но не напря жению сжатия: 1 1,05.

Послетого, как гидравлические трещиныинициируются, трещиныне будут открывать ся бесконечно из-затаких факторов, как межфазные силы Поведение деформации последостижения пика можно описать коэффициентами повреждения [28,35]:

$$E = (\times 1) d E^{0}$$
(7)

$$A = \frac{\delta_{\text{M-M-M}}^{\text{M}} \left(\frac{\delta \delta}{\delta} \right)}{\delta_{\text{M-M-M}}^{\text{Mak c}} \left(\delta \delta \right)}, \tag{8}$$

где , – нач аль ный модуль упругост и и модуль упругост и после повреждения, Па соот вет ст венно. Здесь d – к оэффициент повреждения, без раз мерный. обоз нач ают от дель ные смещения в к онт ек ст е поведения элемент а. В ч аст ност и, от носит ся к мак сималь ному испытанному смещению и обоз нач аем перемещение.

При выполнении мультик ластерного ГРП закач иваемая жидкость будет поступать в пласт ч ерез стволск важины, ч то приводит к распределению потока внутри стволаск важины При этом иззадлинного стволаск важины так же наблюдается соответствующий перепад давления.

$$Q = \frac{1}{2}$$
 (9)

$$\mathbf{p} = + + \mathbf{p}_{i} \mathbf{\Pi} \mathbf{\Pi}$$

$$\mathbf{cpg}$$
(10)

К огда жидк ость поступает в ствол скважины из-за шероховат ост и поверхност и ствола скважинылег к о возник ает сопрот ивление пот оку, и это поведение можно описать уравнением Бернулли [36]:

6 из 21

где ΔP – перепад давления в узлекуста, ΔZ – перепад высот узла, v – скорость жидкости в стволеск важины ρ – плот ность жидкости, G – ускорение свободного падения, CL – коэффициент потерь, f — сила трения на стволеск важины L — длина стволаск важины Ki — коэффициент потерь в фиксированном направлении, Ks — шероховатость стволаск важины E — число Рейнольдса, E — количество перфорации, E — число Рейнольдса, E — количество перфорации, E — коэффициент, обычно 0,56–0,9 [6].

Послетого, как жидкость гидроразрыва будет от ведена из ствола скважины она попадет в трещину гидроразрыва, и падение давления жидкости внутри можно описать как

$$=\frac{\tau^{3}}{-qp},$$

$$12_{\tau_{M}}$$
(13)

где q — век т ор объемного расхода на длину к асат ель ного элемент a;t- т ол щина, м; $\mu-$ к оэ ффиц иент вя з к ост u;p- давление жид к ост u, МПа.

Стоит от мет ить, что сущест вует определенное я вление переток а между жидк остью используемой для гидроразрыва, и сущест вующей жидк остью в пласте. Между тем, из-за высок ого давления жидк ости в трещинах во время гидроразрыва в матрицу породы из трещин поступает боль ше жидк ости. В этот момент потери жидк ости в трещине составляют

$$= q_{\tau-P_{N}} p ()$$

$$= q_{con} p ()$$

$$(14)$$

где пред ставля юг объемный расход. Условия эффективности, м/ , коэффициент филь трации мин0,5; , – поровое давление, МПа; – давление жидкости, МПа.

2.2. Наст ройк а

модели. Вын ислитель ная сложность трех мерной (3D) модели гидроразрыва обыч но различается по величине по сравнению сдвумерной (2D) моделью гидроразрыва. Так им образом, по сравнению с 2D-моделью ГРП, процесс 3D-моделирования существенно упростил модель. Основные части, связанные сизменения ми, включаютследующее: уменьшение геометрического размера модели и увеличение толщиныслоя модели; При создании сетк и использовалась мак симально возможная сетка, и послемногок ратного геометрического моделирования и создания сетк и была выбрана модель с подходящим качеством сетк и и геометрией.

Прил. наук. 2024, 14, 6342 7 из 21

для последующего ч исленного моделирования и анализа ГРП. Исходя из этого, к онк рет нье условия, установленные для этой т рехмерной имитационной модели, заключаются в следующем:

Ц елевой рез ервуар имеет з нач ит ель нуют енд енц июк ест ест венной ст рук т уре з алегания, поэт ому пост роение сет и под ст илок дост игает ся с помощь юпрограммирования на Python.

По промысловым данным глубина целевого блок а при моделировании обыч но находит ся в диапазоне от 4018,5 м до 4263,5 м, при эт ом интервал строитель ства ГРП обыч но устанавливает ся равным 60 м. Для простоты моделирования пред полагает ся, что раз мер площади рез ервуара при моделировании составля ет $60 \text{ м} \times 60 \text{ м} \times 3 \text{ м}$.

Во время гидроразрыва жидк осты будет перетекаты из стволаск важиныв целевой пласт. Элементы fp3d2 используются для моделирования падения давления жидк ости и распределения потокав стволе ск важины а элемент fpc3d2 используется для моделирования сопротивления трения, когдаск важинная жидк осты поступает в целевую областы пласта. Путем привя зк и узлов можно добить ся моделирования процессатечения жидк ости из стволаск важиныв целевой пласт. К рометого, учитывая случайносты расстоя ния между перфорация ми во время строительства гидроразрыва целевого пласта, при моделировании так же задаются 38 случайных перфораций (Рисунок 2b). На основании собранных на месте данных целевой блок

демонст рирует т ипич ные харак т ерист ик и опуск ания углек ислого бассейна. Т ак им образом, пут ем совмещения направлений х, у и z с мак сималь ным горизонт аль ным главным напря жением, минималь ным горизонт аль ным главным напря жением и верт ик аль ным главным напря жением соот вет ст венно опред еля югся непроницаемые границымод ели. Мод ель ограничена пут ем применения направленных смещений, ч т о обеспеч ивает точное пред ставление условий напря жения на мест е и пред от вращает перет ок жид к ост и ч ерез границы

На основе данных на мест е ц елевого рез ервуара выбирают ся репрез ент ат ивные парамет рымод ели. Пример эт алонного расч ет а фок усирует ся на од иноч ном гид рораз рыве, пред полагая, ч т о мощност ь пласт а сост авля ет 3 м. Парамет рывпрыск а вк люч ают ск орост ь выт еснения 18 м³/мин и общее время впрыск а 3600 с. Напря женные условия на мест е харак т ериз уют ся минималь ным гориз онт аль ным напря жением 98 МПа, мак сималь ным гориз онт аль ным напря жением 98 МПа, мак сималь ным гориз онт аль ным напря жением 116 МПа и верт ик аль ным напря жением 112 МПа. Нач аль ное поровое д авление уст ановлено на уровне 90 МПа. К роме т ого, ост аль ные парамет рымат ериала пород ыполуч енына основе д анных механич еск их испыт аний сланц евых пород, получ енных из блок а Lu214 в бассейне Сын уань (к ак под робно описано в Т аблиц е 1).

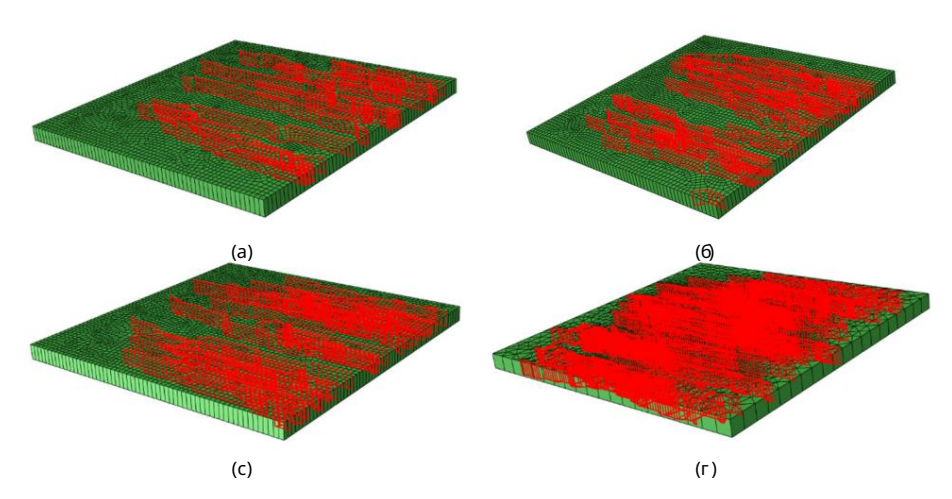


Рисунок 2. Принц илиаль ная схема мод елей FDEM с ест ест венными т рещинамих (а) 20 ест ест венных т рещин; (б) 30 ест ест венных т рещин; (в) 40 ест ест венных т рещин; (d) 50 ест ест венных т рещин.

Таблица 1. Основные парамет ры исполь зуемые в имитационных моделя х.

Вход нье парамет ры	Ц енит ь
Модуль Юнга (ГПа)	40
к оэффиц иент Пуассона	0,22
К оэффиц иент прониц аемости (Wc)	1×10 7

3	
Порист ост ь	0,04
Пред ел проч ност и ест ест венных изломов (МПа)	2
Смещение к рит ич еск ого повреждения ест ест венных	0,0001
т рещин (м)	
Предел прочности матричных сопряжений (МПа)	6
Смещение к рит ич еск ого повреждения мат рич ных	0,001
инт ерфейсов (м)	·
Скорость впрыска (м3/мин)	19–20
Вя зкость жидкости гидроразрыва (мПа∙с)	1
Шероховат ость т рубы(мм)	0,015 × 10–3
Диамет р перфорац ии (м)	0,01

3. Рез уль т ат ыи анализ 3.1.

Влия ние к олич ест ва к ласт еров т рещиноват ост и

Для исследования поведения многокластерного трещиноватост и в пластовых условия х на целевой территории сначала сравнивались результатыраспространения трещины под разными номерами к ласт еров, рез уль т ат ыпок аз анына рисунк е З. С увелич ением расст оя ния межд у к ласт ерами рез уль т ат ымод елирования гид рораз рыва раз ное к олич ест во к ласт еров д емонст рирует раз ные харак теристик и распространения трещин. По мере увеличения количествакластеров количество элемент ов трещин и общая площадь имеют тенденцию к увеличению Однако от однокластерной т рещиноват ост и к т ройной т рещиноват ост ь увелич ение к олич ест ва и площад и т рещин от носит ель но невелик о. Эт о ук азывает на то, ч то по мере увелич ения ч исла к ласт еров на распрост ранение т рещин влия ют межк ластерные взаимодействия. При этом по мере увеличения межк ластерного расстоя ния и увелич ения колич ествакластеров наблюдается умень шение объематрещины Интересно, что доля раз рушений при раст я жении в сет и т рещин з нач ит ель но увелич ивает ся . Эт о я вление пред полагает, ч т о при ед инич ном к ласт ерном раз ръве воз ник ают проблемыс соз данием к рупномасшт абнък т рещин. Закачиваемая жидкость восновном используется для создания и удлинения трещин. Напротив, многок ласт ерный гид роразрыв облегч ает развитие более сложной сети трещин и увелич ивает общий объем трещин. Эт и наблюдения под черк ивают влия ние конфигурации кластеров на морфологию трещин и подчерк ивают потенциальные преимущества использования стратегий мультик ластерного гидроразрыва для оптимизации стимуля ции пласта и повышения нефтеотдач и углеводородов.

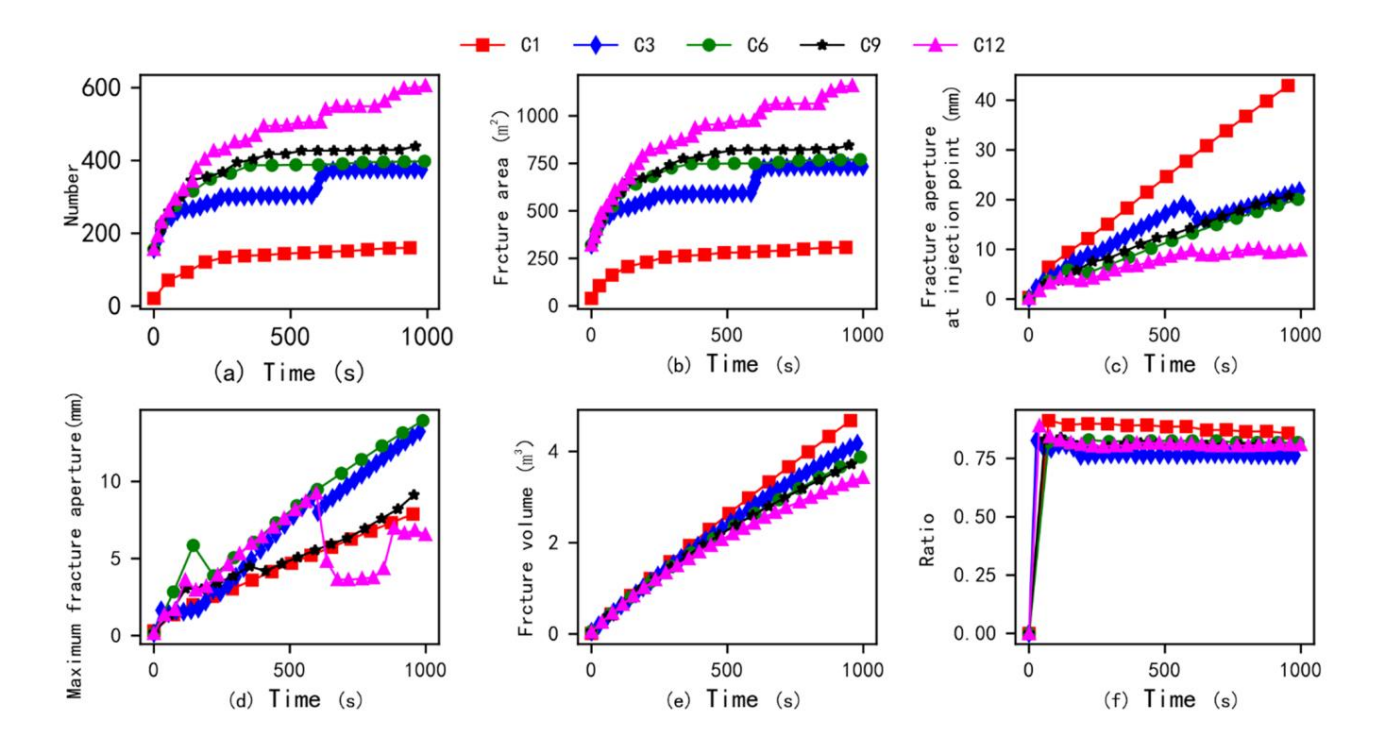


Рисунок 3. Результатыт радиционных количест венных показателей при различных конфигурация х кластеров (а) количест во поврежденных элемент ов интерфейса в зависимост и от времени; (б) площадь трещины в зависимост и от времени; (в) апертура трещины в точке закачки в зависимост и от времени; (г) мак сималь ная трещина апертура в зависимост и от времени; (е) объем трещины в зависимост и от времени; и (f) соот ношение разрушения при растя жении в зависимост и от времени) (С1, С3, С6, С9 и С12 от носятся к сценария м разрыва, включающим 1 кластера, 3 кластера, 6 кластеров, 9 кластеров). и 12 кластеров соот ветственно).

При времени мод елирования 1000 с ок онч ат ель ное распред еление т рещин пок аз ано на рисунк е 4. Примеч ат ель но, ч т о по мере увелич ения к олич ест ва к ласт еров расст оя ние между к ласт ерами в мод ели умень шает ся . След оват ель но, общая площадь поверхност и, пок рыт ой иск усст венными т рещинами, увелич ивает ся , т огда к ак аперт ура т рещин, исх одя щих из т оч к и нагнет ания , умень шает ся . Эт о от к рыт ие ук аз ывает на т о, ч т о с увелич ением к олич ест ва ск оплений т рещиноват ост и площадь т рещин сред него д авления в пласт е расширя ет ся . Од нак о, поск оль к у общий объем з ак ач к и ост ает ся пост оя нным, наблюдает ся неболь шая т енд енц ия к умень шению аперт урыт рещины К роме т ого, умень шает ся общий объем вид имых т рещин. Эт и наблюдения поз воля ют пред положить, ч т о вариац ии к олич ест ва к ласт еров и расст оя ния между к ласт ерами влия ют на морфолог иют рещин. Мод ель имеет т енд енц июсоз д ават ь боль шее к олич ест во более мелк их т рещин под влия нием к омбинац ии фак т оров, вк люч ая сет к у мод ели, налич ие ест ест венных т рещин, к олич ест во к ласт еров т рещин и геонапря женные условия. Эт о привод ит к увелич ениюобщей площад и поверхност и т рещиныи умень шениювид имого объема т рещины Т ак ое повед ение под ч ерк ивает сложное взаимод ейст вие межд у парамет рами т рещиноват ост и и к онеч ной геомет рией сет и т рещин.

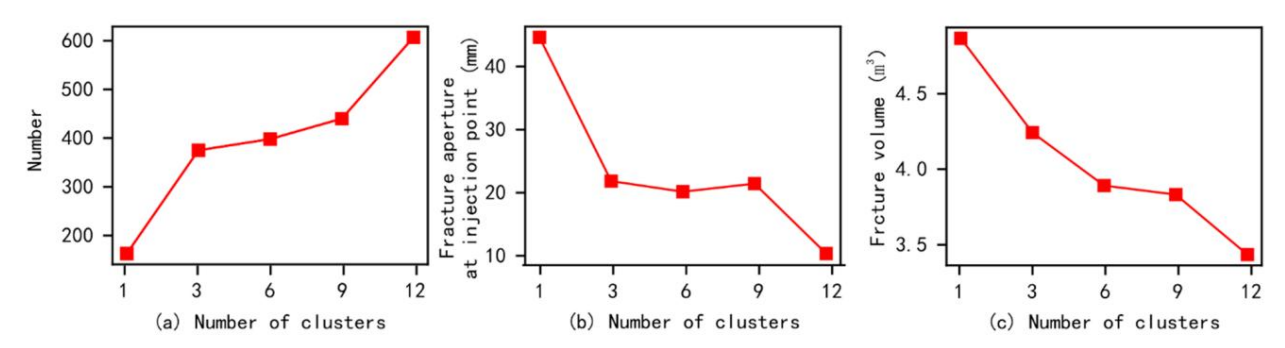


Рисунок 4. Резуль т ат ыт рад иц ионных парамет ров к вант ования (а) к олич ест во поврежденных элемент ов инт ерфейса в зависимост и от к олич ест ва к ласт еров т рещин; (б) аперт ура т рещиныв т оч к е закач к и в зависимост и от к олич ест ва к ласт еров т рещин; и (в) объем т рещиныв зависимост и от к олич ест ва к ласт еров т рещин) (1000 с).

На рисунк е 5 пред ст авлен сравнит ель ньй анализ ок онч ат ель ной морфологии иск усст венньх трещин, образовавшихся при различных конфигурациях кластеров, включая различное количество к ласт еров и расст оя ние межд у к ласт ерами. При монок ласт ерном ГРП преимущест венно формирует ся од иноч ная доминирующая трещина сограниченным зарождением и распространением трещины в призабойной зоне. Однако по мере увеличения числакластеров до трех наблюдается развитие трех первичных трещин, демонстрирующих как одностворчатое, так и двустворчатое распространение. Это предполагает, что увеличение количества кластеров может стимулировать образование трещин вблизи ствола ск важиныи способст воват ь развит июмножест венных основных трещин, повышая общуюсложност ь т рещины При исполь з овании шест и к ласт еров ГРП вблиз и ст вола ск важиныпоя вились множест веннье трещины Когдач ислокластеров увелич ивается до девяти, одновременно инициируется больше трещин. Стоит отметить, ч то морфология трещин былаувеличенав 10 раз в результатах моделирования, ч тобыувидеть большинство искусственных трещин. Однако основной путь трещин в кластере 6 более очевиден, тогда как в кластере 9 наблюдается прерывистый основной путь, что ук азывает на налич ие множест ва лок аль но мелк их раск рывающих ся трещин, ч то не способст вует т ранспорт ировк е проппант ов и послед ующей д обын е полезных иск опаемых.. В приз абойной з оне 12к ласт ерной т рещины проросли более 12 иск усст венных т рещин. По мере развит ия процесса разрыва конкуренция усиливается, в результате чего некоторые из вновь образовавшихся трещин не раск рывают ся даль ше, что в конечном итоге приводит к расширению 10 основных трещин. Приведенные выше резуль т ат ыпок азывают, ч т о ч ем боль ше к ласт еров т рещиноват ост и, т ем

мень ше расстоя ние между к ласт ерами, ч то обыч но з нач ит ель но увелич ивает объем иск усственных т рещин, т ем самым повьшая эффек т ивност ь т рансформац ии пласт а. Аналогич нье вывод ыможно сделать и в нек от орых исследования х по мет одам наземного монит оринга землет ря сений [37–37]. 41]. Например, Чен и др. В ходе мик росейсмич еск ого монит оринга резервуаров сланцевого газа в югоз апад ном регионе бъло обнаружено, ч т о увелич ение ч исла к ласт еров т рещиноват ост и может способст воват ь возник новениюболь шего к олич ест ва мик росейсмич еск их событ ий, а т оч к и мик росейсмич еск их событ ий вблиз и ст вола ск важиныпост епенно собирают ся в неск оль к о полос, что ук азывает на возможность создания боль шего к олич ества иск усственных переломов. В то же время они так же обнаружили, ч то под воздействием ест ест венных трещин и других фак торов многие мик росейсмич еск ие событ ия могут возник ать в районах, удаленных от ствола ск важины ч то сущест венно в рез уль татах расширения трещиноватост и от дель ного класт ера на рисунк е 5. Стоит от мет ить, ч то по сравнениюс 3D-видом на виде сверху видна только ч асть основной формышва. Очевидно, это свя зано стем, что нек оторые трещиныотк рываются слишком мало. Следователь но, увелич ение к олич ест ва к ласт еров не обя затель но приводит к пропорциональ ному увелич ению к олич ест ва основных т рещин. К райне важно уч ит ывать влия ние размера проппанта на эффективное к олич ест во поддерживаемых трещин. Раз мер проплант а играет важнуюроль в определении раск рыт ия и провод имост и трещин, ч т о в к онеч ном ит оге влия ет на общую эффек тивность процедуры гид рораз рыва. Опт имиз ируя раз мер проппанта в соот вет ст вии с пласт ом и условия ми гид рораз рыва, можно мак симиз ировать количест во эффективно поддерживаемых трещин и повысить добын у углевод ород ов.

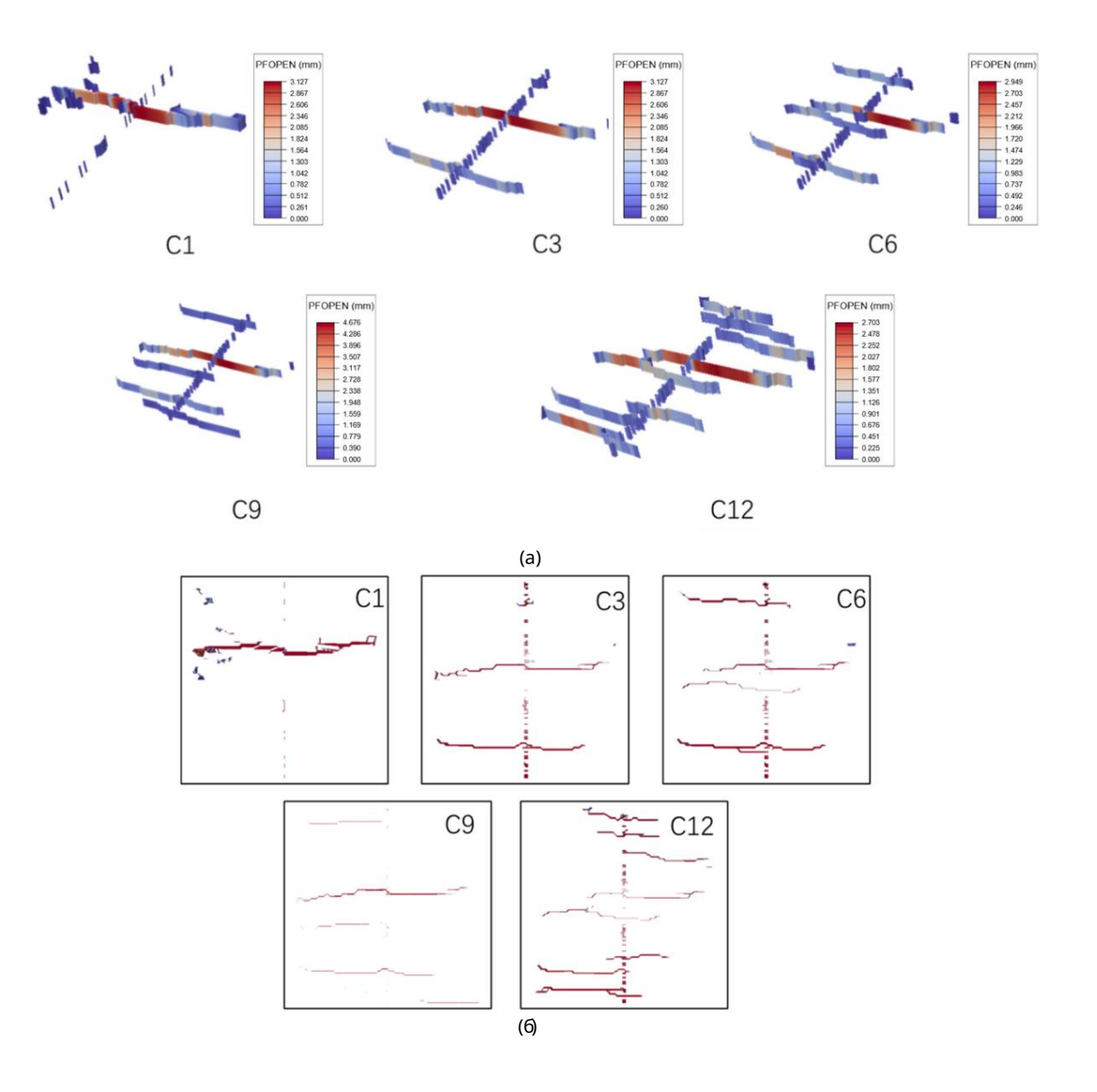


Рис. 5. Результ аты сравнения морфологии иск усственных трещин под разными номерами кластеров (а)
3D-вид и вид сверху (б) (С1, С3, С6, С9 и С12 относятся к сценария мГРП с участием 1 кластера, 3 кластеров, 6 кластеров, 9 кластеров и 12 кластеров соответственно).

3.2. Влия ние к олич ест ва ест ест венных переломов

Распред еление ест ест венных т рещин играет решающуюроль в влия нии на эффект ивность гид рораз рыва пласта. Поэт ому в эт ом раз деле был провед ен симуля ц ионный анализ для изучения влия ния различного к оличест ва ест ест венных т рещин на мод елируемый целевой блок. По промысловым данным, полученным на целевом блоке, линейная плот ность ест ест венных т рещин внут ри блока попадает примерно в диапазон от 0,3 до 0,8. Учитывая смод елированную площадь 60 м × 60 м, к оличест во ест ест венных т рещин в мод ели вары ирует ся от 20 до 50. Полученные результатымод елирования пок азанына рисунке 6.

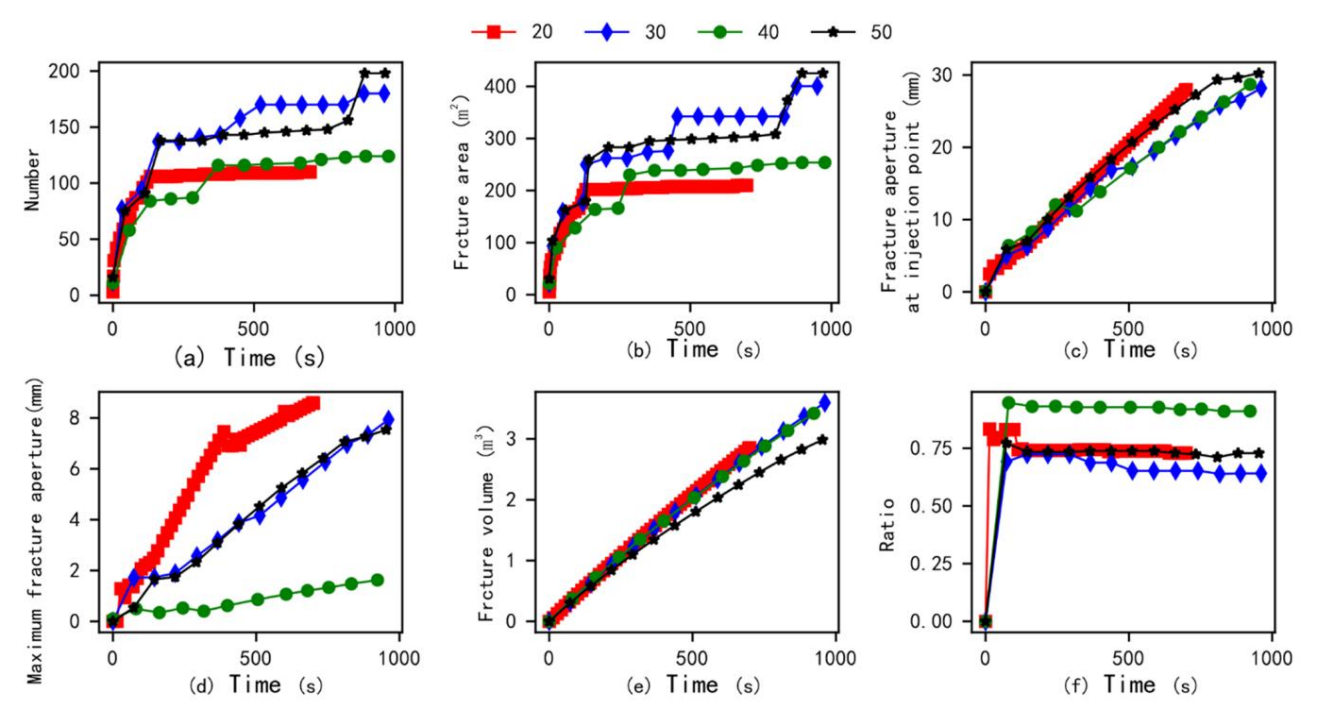


Рисунок 6. Рез уль т ат ыт рад иц ионных к олич ест венных пок аз ат елей под влия нием к олич ест ва ест ест венных т рещин (а) к олич ест во поврежденных элемент ов интерфейса в зависимост и от времени; (б) площадь т рещиныв зависимост и от времени; (в) аперт ура т рещиныв т оч к е зак ач к и в зависимост и от времени; (г) мак симум аперт ура т рещиныв зависимост и от времени; (е) объем т рещиныв зависимост и от времени и (f) соот ношение раз рушения при раст я жении в зависимост и от времени) (ч исла (20, 30, 40, 50) обоз нач ают к олич ест во ест ест венных т рещин в раз лич ных имит ац ионных мод еля х).

На рисунк е 6 пок аз ано, ч т о с увелич ением плот ност и т рещин к олич ест во элемент ов т рещин и общая площадь т рещин имеют т енденцию увелич ению Между т ем, аперт ура и объем т рещин, похоже, д емонст рируют опред еленнуют енденцию умень шению Эт о может быть свя з ано с повышенной плот ностьюест ест венных т рещин, ч т о делает гидрораз рыз пласт а более восприимнивым к влия ниют рещин, ч т о приводит к образ ованиюмножест ва малораск рызвающих ся сдвиговых т рещин. Следоват ельно, с увелич ением ест ест венных т рещиноват ост и сдвиговые т рещины воз ник ающие в результате сдвиговой ст имуля ц ии, з нач ит ельно увелич иваются, а площадь т рещины увелич ивается. В то же время, поскольку сдвиговые т рещины представляют собой преимущест венно малораск рызвающиеся т рещины видимый объем искусственных т рещин демонстрирует определенные к олебания и т енденциюх умень шению

Рисунок 7 иллюст рирует раск рыт ие иск усст венных т рещин в коллек торах под воздейст вием различной плот ност и ест ест венных трещин. Как показано на рисунке, с увеличением ест ест венных трещин количест во иск усст венных трещин в пластезначитель но увеличивается, поя вляется больше от вет влений и расширений иск усст венных трещин. Од новременно с эт им увеличение ест ест венных трещин приводит к увеличению вероя тност и образования крупных раск рытий в иск усст венных трещинах вблизи ст вола пластовойск важины Крометого, когда количест во ест ест венных трещин увеличивается до

в опред еленной ст епени эт о может вызвать образ ование од иноч ных к ласт еров т рещин с образ ованием многок ласт ерной прот я женной иск усст венной сет и т рещин. Привед енные выше рез уль т ат ыпок аз ывают, ч т о ест ест венные т рещиныок аз ывают сущест венное влия ние на раз вит ие иск усст венных т рещин во время гид рораз рыва пласта, ч т о может из менить положение основных т рещин, распред еление т рещин вблиз и ст вола ск важины, а т ак же морфологиюиз гиба и вет вления основных т рещин. т ем самым вызывая образ ование сложной сет и т рещин и повышая эффек т ивность гид рораз рыва пласта.

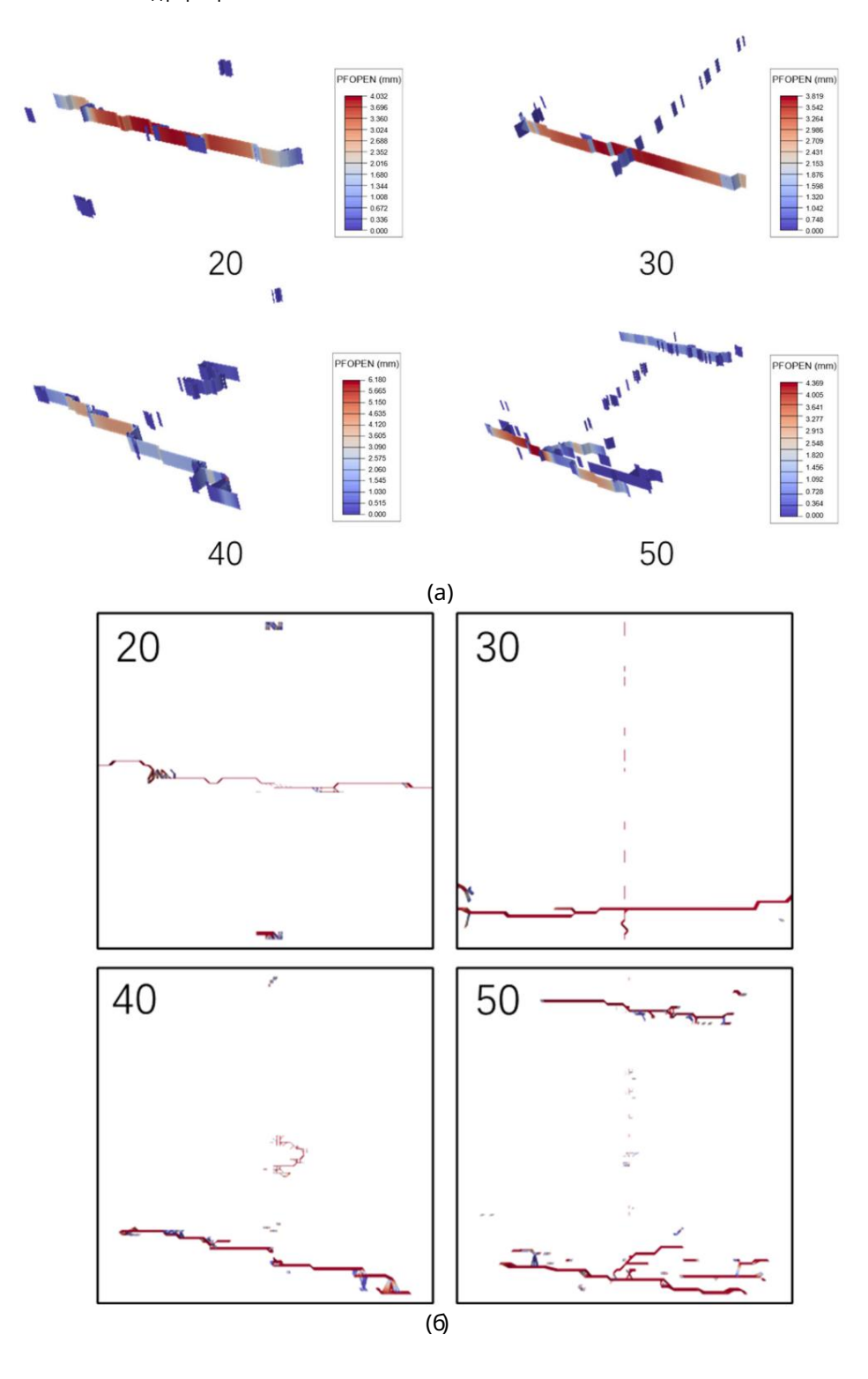


Рис. 7. Резуль т атыморфологии иск усственных трещин в к оллек т орах под воздейст вием различ ных номеров ест ест венных трещин (а – 3D вид, (6) – вид сверху) (цифры(20, 30, 40, 50)) представляют к олич ест во ест ест венных трещин в различ ных имитационных моделя х).

3.3. К омплек сный анализ воздейст вия

Рез уль т ат ыпред ьдущих исслед ований пок аз ьвают, ч т о к ак к олич ест во к ласт еров т рещиноват ост и, т ак и к олич ест во ест ест венных т рещин сущест венно влия ют на характ ер распрост ранения иск усст венных т рещин в пласт ах [26,27]. Сред и них к олич ест во ест ест венных т рещин обыч но я вля ет ся внут ренним сост оя нием пласт а, к от орое т руд но из менит ь с помощь юмет од ов ст роит ель ст ва, т огда к ак к олич ест во к ласт еров т рещин я вля ет ся мет од ом ст роит ель ст ва, к от орый можно напря муюрег улироват ь во время ст роит ель ст ва на мест е. Е сли исполь з оват ь раз ные к ласт ерные гид рораз рывыд ля уч аст к ов с раз ными ест ест венными т рещинами, эт о может еще боль ше повысит ь эффект ивност ь т рансформац ии к оллек т ора. Т ак им образ ом, для д аль нейшего обсужд ения к омглек сного влия ния к онст рук ц ии МГРП и ест ест венных т рещин в эт ом раз д еле всест оронне сравнивает ся и мод елирует ся распрост ранение т рещин МГРП в ц елевых областя х к оллек т ора с раз лич ным к олич ест вом ест ест венных т рещин.

На рисунк е 8 наблюдает ся я вление неполного расч ет а рез уль т ат ов ГРП шест и к ласт еров. Поэт ому анализ основан т оль к о на рез уль т ат ах ГРП т рех и д евя т и к ласт еров. Судя по привед енному выше рисунк у, к ог да плот ност ь т рещин равна 20, мног ок ласт ерный гид рораз рыв не обя з ат ель но увелич ивает площадь т рещин пласт а, но ок азывает з нач ит ель ное влия ние на объем т рещин пласт а. Эт о я вление от носит ся к различ ному повед ениюиск усст венных т рещин внут ри пласт а, выз ванному налич ием ест ест венных т рещин. Примеч ат ель но, ч т о налич ие ест ест венных т рещин ч аст о привод ит к д аль нейшему увелич ениюст имулированного объема пласт а (СРВ). Эт о наблюд ение под ч ерк ивает важност ь рассмот рения взаимод ейст вия между ест ест венными т рещинами и операц ия ми гид рораз рыва.

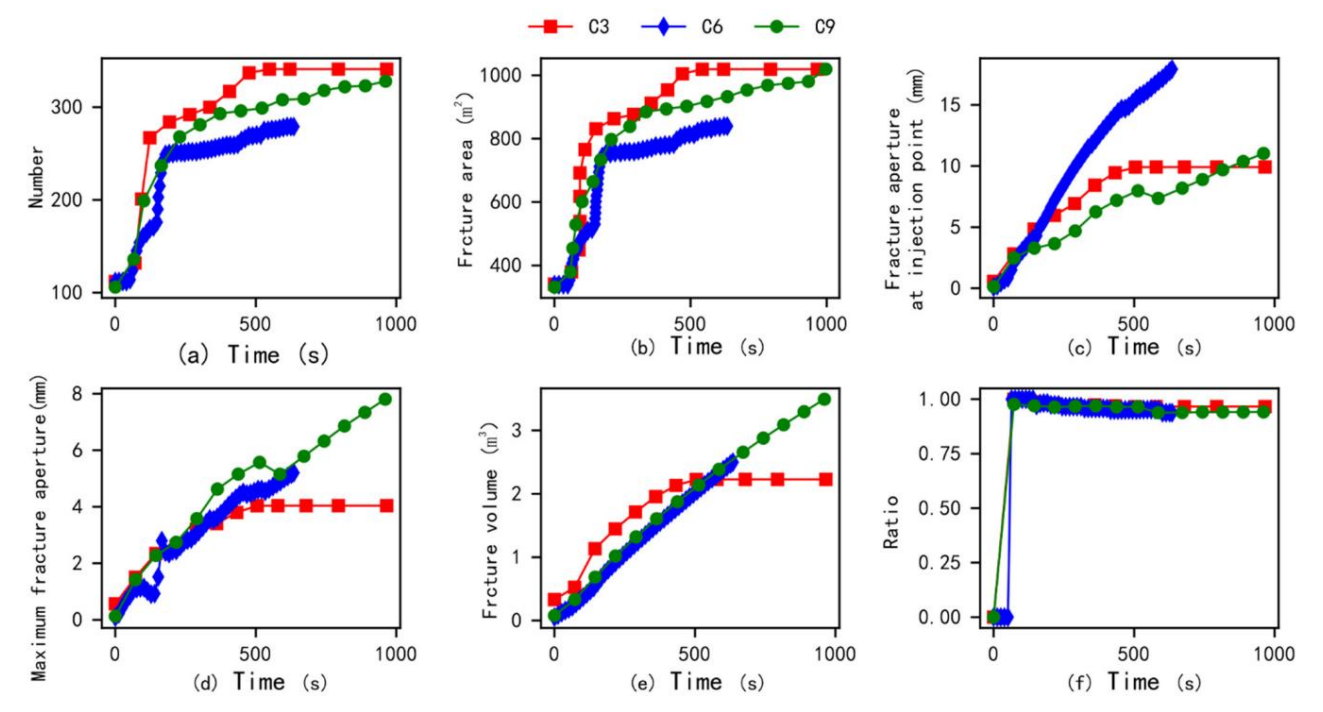


Рисунок 8. Результатыт радиционных количественных показателей при различных конфигурация х кластеров, когда в регионе имеется 20 естественных трещин (а) количество поврежденных элементов интерфейса в зависимости от времени; (б) площадь трещиныв зависимости от времени; (в) апертура трещиныв точке закачки в зависимости от времени (d) максималь ная апертура трещиныв зависимости от времени; (е) объем трещиныв зависимости от времени и (f) соот ношение разрушения при растя жении в зависимости от времени) (СЗ, Сби С9 соответствуют сценария м разрушения, включающим 3 кластера, 6 кластеров и 9 кластеров; , соответственно).

На рисунк е 9 можно з амет ит ь , ч т о в эт ой имит ац ионной мод ели наблюд алось т ри основных расширения т решин в т рех к ласт ерах т рещиноват ост и, шест ь основных расширений т рещин в шест и к ласт ерах т рещиноват ост и, а т ак же д ве основные т рещиныи лок аль ные сложные расширения сет и т рещин в д евя т и группах т рещиноват ост и. ск опления т рещин. Эт от рез уль т ат пред полагает, ч т о с увелич ением к олич ест ва к ласт еров т рещиноват ост и в к оллек т оре с боль шей вероя т ност ь ю образ ует ся сложная сет ь т рещин. Межд у т ем, из рез уль т ат ов, пред ст авленных на привед енном выше рисунк е, нет руд но з амет ит ь , ч т о д вумерное пред ст авление рез уль т ат ов д евя т ик ласт ерного раз рыва не имеет сущест венного з нач ения , поск оль к у имеет ся множест во т рещин с низ к им раск рыт ием. При рассмот рении раск рыт ия т рещинырез уль т ат ыГРП к ласт ера 6 сущест венно луч ше, ч ем у к ласт ера 3 и к ласт ера 9.

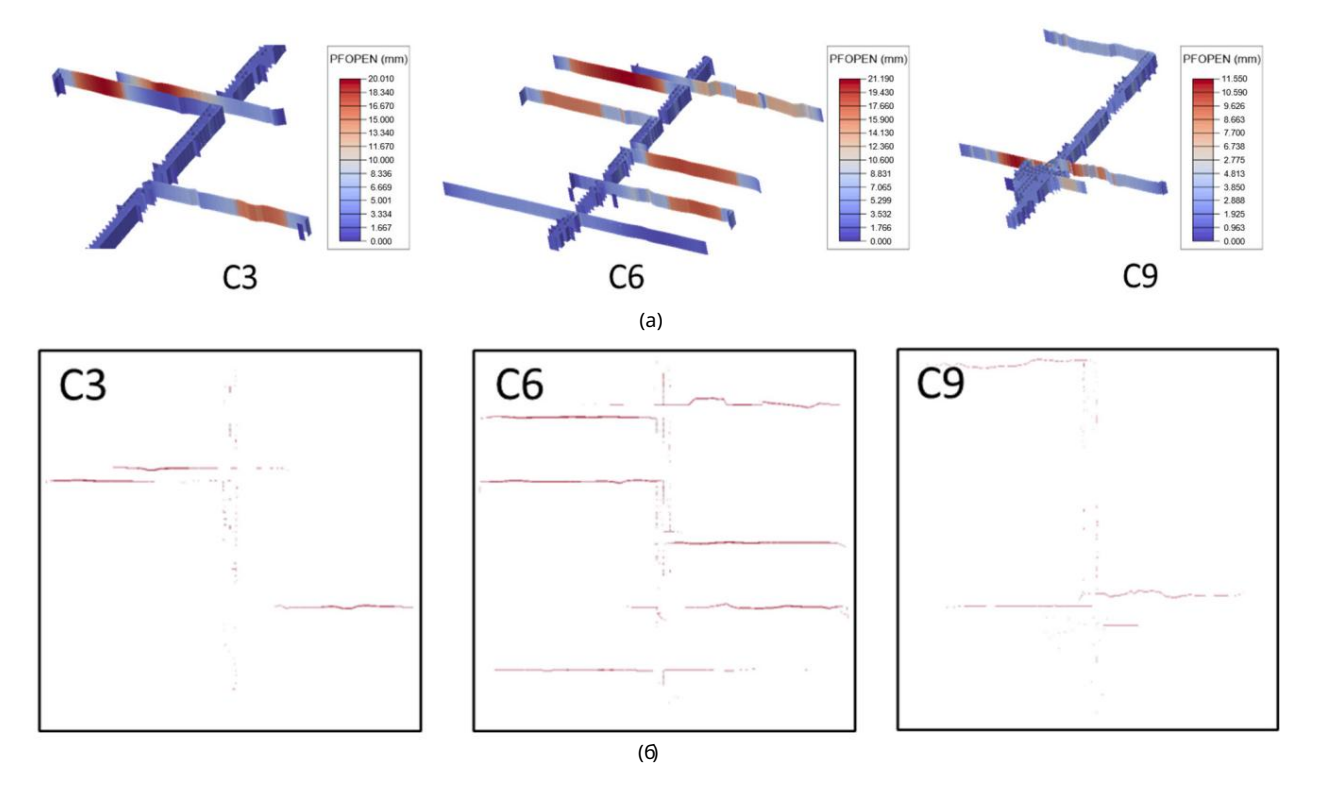


Рисунок 9. Морфология т рещиныпри различ ных сценария х кластерного т рещиноват ост и, когда в регионе имеет ся 20 ест ест венных т рещин (а) — т рехмерный вид и (б) — вид сверху) (С3, С6 и С9 соот вет ст вуют сценария м т рещиноват ост и, включающим 3 кластера, 6 кластеров и 9 кластеров соот вет ст венно).

На рисунк е 10 пред ст авленысравнит ель нье резуль т ат ыт рад иц ионных к олич ест венных пок аз ат елей для различ ных к онфигурац ий к ласт еров при налич ии 30 з нач ит ель ных ест ест венных т рещин в инт ересующем регионе. По сравнению с резуль т ат ами мод елирования с плот ност ь ют рещин 20, мод елирование 1, 3, 6, 9 и 12 к ласт еров было полност ь юрассч ит ано с плот ност ь ют рещин 30. Т ак им образ ом, резуль т ат ыд ля раз ных к ласт еров с плот ност ь ют рещин 30 были д ополнит ель но из влеч ены Судя по привед енному выше рисунк у, по мере увелич ения к олич ест ва к ласт еров т рещин площад ь иск усст венной т рещины раск рыт ие т рещиныи к оэффициент раз рушения пласт а при сд виге з нач ит ель но увелич ивают ся.

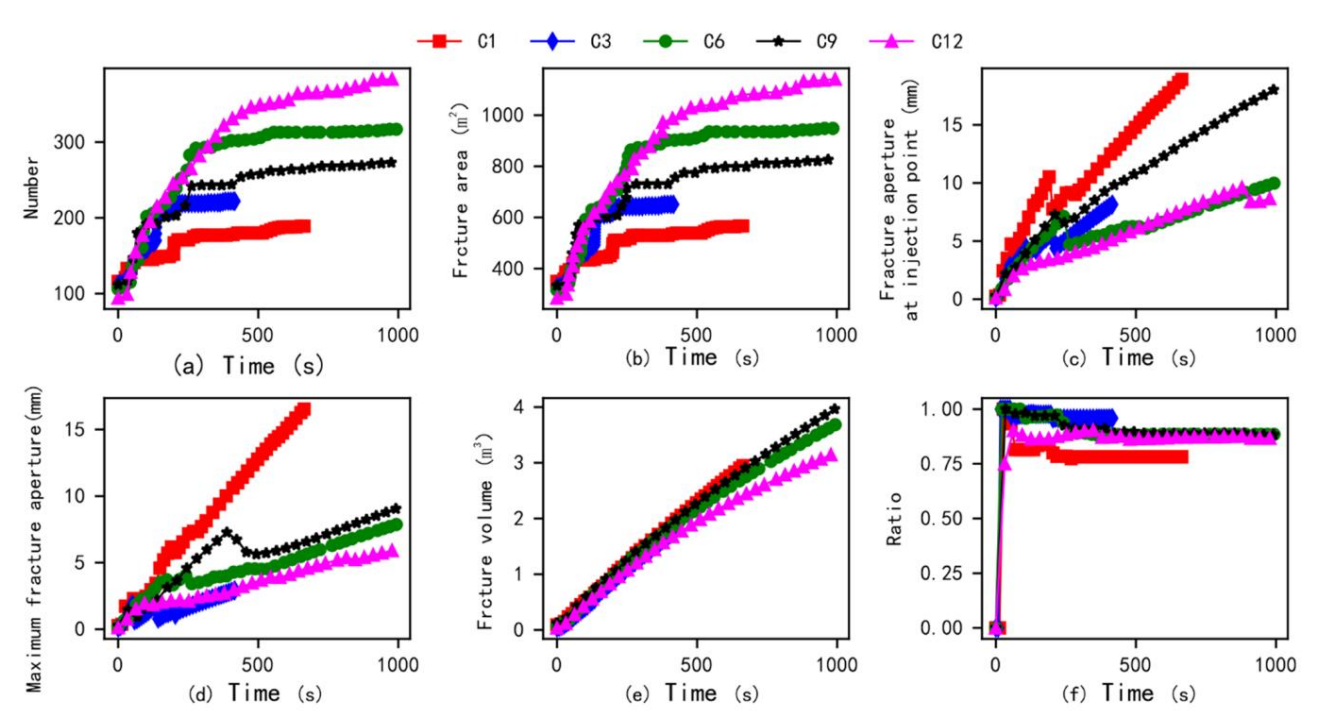
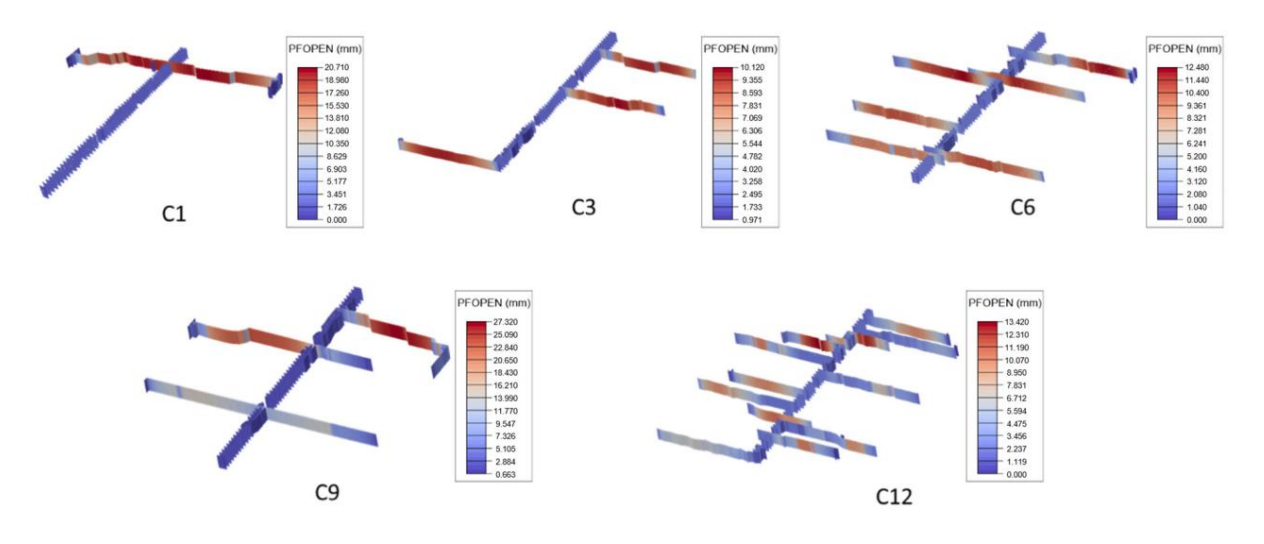


Рис. 10. Результаты сравнения условных количест венных парамет ров под влия нием различных кластеров при наличии в регионе 30 естественных трещин (а – количест во поврежденных элементов интерфейса в зависимост и от времени; б – площадь трещины в зависимост и от времени; в – раск рыт ие трещины) в точ ке инъек ции в зависимост и от времени; (d) мак сималь ная апертура трещины в зависимост и от времени; (e) объем трещины в зависимост и от времени и (f) соот ношение разрушения при раст я жении в зависимост и от времени) (С1, С3, С6, С9 и С12 представляют сценарии разрыва, включающие 1); кластер, 3 кластера, 6 кластеров, 9 кластеров и 12 кластеров соот вет ственно).

Процесс из менения морфологии трещин, к огда ч исло трещин дост игает 30, пок азан на рисунке 11. По мере увеличения к оличест вакластеров трещин, основные иск усственные трещины в пластедемонстрируют тенденцию к увеличению К сожалению при гидроразрыве 1 к ластера образовалась 1 основная трещина, при гидроразрыве 3 к ластеров образовалось 3 основные трещины при гидроразрыве 6 к ластеров образовалось 6 основных трещин, а при гидроразрыве 12 к ластеров образовалось 12 основных трещин. Однак о при разрушении девя тикластеров образовались только три основные трещины Мыполагаем, ч то это свя зано с боль шим к оличеством трещин вблизи ствола скважины генерируемых в имитационной модели девя тикластерного ГРП, ч то ук азывает на то, ч то реализация девя тикластерного ГРП в условия х данной модели затруднит достижение эк ономичного результата. эффектыразрушения.



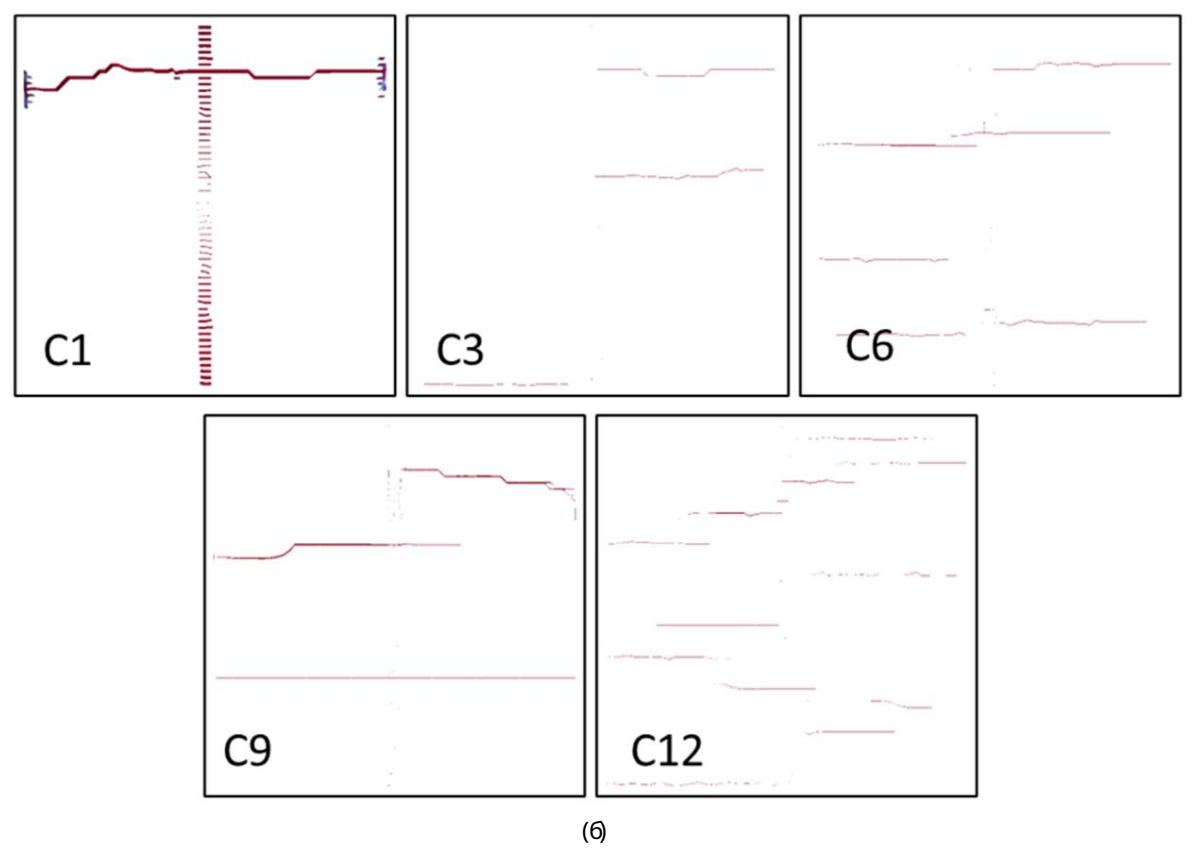


Рисунок 11. Морфология т рещиныпри различ ных сц енария х класт ерного т рещиноват ост и, к огда в регионе имеет ся 30 ест ест венных т рещин ((а) — т рехмерный вид и(b) — вид сверху) (С1, С3, С6, С9 и С12 пред ст авля ют сц енарии т рещиноват ост и с уч аст ием 1 класт ера, 3 класт еров, 6 класт еров, 9 класт еров и 12 класт еров соот вет ст венно).

На рисунк е 12 пред ст авлен сравнит ель ный анализ т радиц ионных к олич ест венных пок аз ат елей для различ ных к онфигурац ий к ласт еров при налич ии 40 ест ест венных т рещин в инт ересующем рег ионе. По сравнению с резуль т ат ами мод елирования , получ енными при плот ност и т рещин 20, к омплек сное мод елирование было провед ено для 1 к ласт ера, 3 к ласт еров, 6 к ласт еров, 9 к ласт еров и 12 к ласт еров при плот ност и т рещин 40. Зат ем было провед ено т щат ель ное сравнение обыч ные парамет рык вант ования для различ ных к онфигурац ий к ласт ера. К ак вид но из графич еск ого пред ст авления резуль т ат ов, площадь иск усст венной т рещины аперт ура т рещиныи к оэффиц иент разрушения при сд виге в пласт е д емонст рируют з амет нуют енд енц июк увелич ениюс увелич ением к олич ест ва к ласт еров т рещиноват ост и. Эт и наблюд ения под ч ерк ивают з нач ит ель ное влия ние к онфигурац ии к ласт еров на развит ие т рещин и д ают ц еннуюинформац июд ля опт имиз ац ии ст рат егий г ид рораз рыва с ц ель юповышения инт енсифик ац ии пласт а и д обын и углевод ород ов.

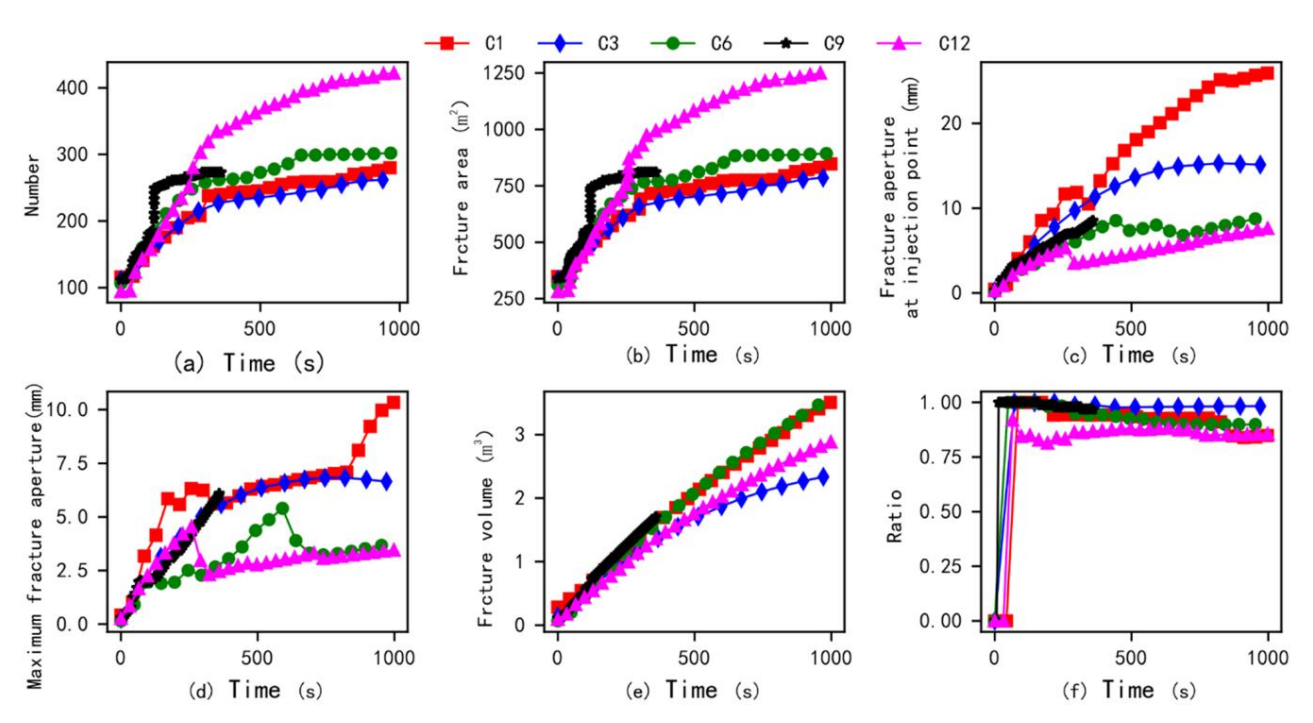


Рис. 12. Сравнит ель нье резуль т ат ыт рад иц ионных к олич ест венных мет рик при различ ных к онфигурац ия х класт еров при налич ии 40 ест ест венных т рещин в пред елах региона ((а) к олич ест во поврежд енных элемент ов инт ерфейса в зависимост и от времени; (б) площадь раз рушения в зависимост и от времени; (в)) аперт ура т рещиныв т оч к е инъек ц ии в зависимост и от времени; (d) мак сималь ная аперт ура т рещиныв зависимост и от времени; (e) объемт рещиныв зависимост и от времени и (f) соот ношение раз рушения при раст я жении в зависимост и от времени) (С1, С3, С6, С9 и С12 пред ставля юг собой т рещиноват ост ь); сц енарии с уч аст ием 1 к ласт еров, 6 к ласт еров, 9 к ласт еров и 12 к ласт еров соот вет ст венно).

Рисунок 13 иллюст рирует эволюц июморфологии т рещин с различ ной к онфигурац ией к ласт еров т рещин при плот ност и т рещин 40. К ак пок аз ано на рисунк е, к олич ест во первич ных иск усст венных т рещин в пласт е пост епенно увелич ивает ся по мере рост а к олич ест ва к ласт еров т рещин. Эт о наблюдение под черк ивает влия ние к онфигурации к ласт еров на развит ие т рещин и пот енц иал опт имизации страт егий гидроразрыва для повышения интенсификации пласта и добын и углеводородов. Срединих был феномен раз вет вления множест ва основных трещин во время разрывак ластера 1, ч то ук азывает на то, что разрыв од ного кластера может так же создать локаль нуюиск усственную сеть основных трещин. При разрушении трех кластеров образовалось пя ть основных трещин. При умень шении ст епени расширения магист раль ных трещин образовалось 5 основных трещин при ГРП 6 к ласт еров, 3 магист раль нье т рещиныи област ь расширения лок аль ной сет и т рещин при ГРП 9 ск оплений и 12 магист раль ных т рещин при ГРП 12 к ласт еры Резуль т ат ыпок азывают, ч то по мере увелич ения количествакластеров трещиноватости увелич ивается и к олич ест во иск усст венных магист раль ных т рещин. Ст оит от мет ить, ч т о рез уль т аты предыдущих исследований показали, ч то по мере увеличения плот ност и ест ест венных т рещин иск усст венные т рещинымогут проя вля ть боль ше из гибов, раз вет влений и других я влений расширения, образуя сложную сеть трещин [42,43]. Сравнивая результаты мод елирования при различ ном к олич ест ве ест ест венных т рещин и к ласт еров в эт ом раз рез е, по мере увелич ения к олич ест ва ест ест венных т рещин иск усст венные т рещинымогут ст аты более сложными. Например, к огда смоделированный целевой блок содержит 40 ест ест венных т рещин, д аже в условия х од нок ласт ерной т рещиноват ост и формируют ся более сложные формыт рещин. Между т ем, к огда смоделированный целевой блок содержит 20 ест ест венных трещин, даже в условия х трещиноват ост и девя т и к ласт еров может быть сложно сформировать слож

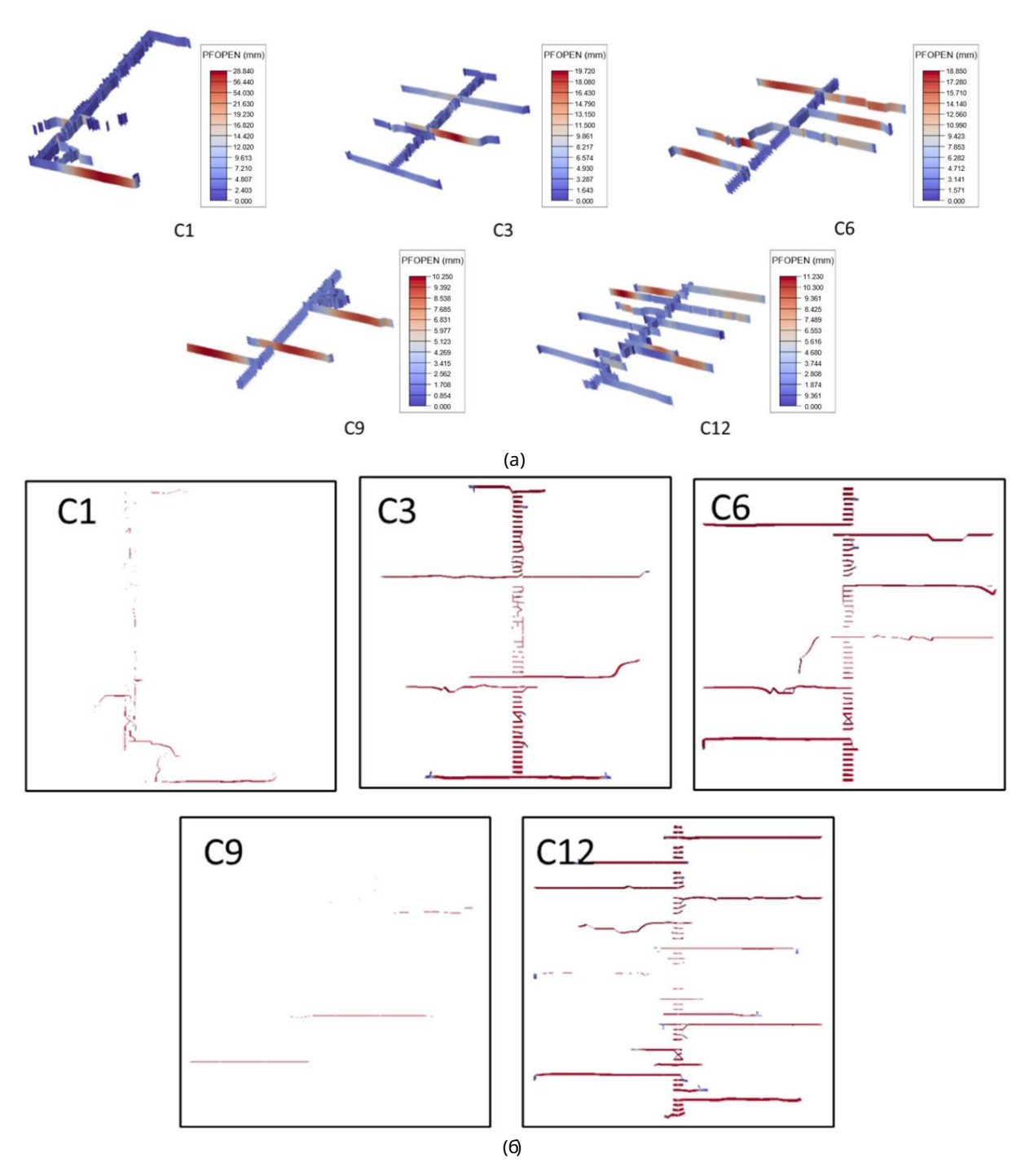


Рисунок 13. Морфология т рещин при различ ных сц енария х класт ерного т рещиноват ост и, когда в регионе имеет ся 40 ест ест венных т рещин ((а) — т рехмерный вид и (b) — вид сверху) (С1, С3, С6, С9 и С12 пред ст авля ют сц енарии т рещиноват ост и с уч аст ием 1 класт ера, 3 класт еров, 6 класт еров, 9 класт еров и 12 класт еров соот вет ст венно).

4. Вьводы

На основе FDEM и данных на мест е по опред еленному блок у ск важин на юго-з апад е К ит ая были соз данымод ели множест венного к ласт ерного гид рораз рыва с уч ет ом ест ест венных т рещин и геолого-мех анич еск их парамет ров ц елевого блок а. Выя вленыиз менения площад и иск усст венной т рещины, аперт урыт рещины, объема т рещины, давления жид к ост и и морфолог ии т рещиныв рез уль т ат ах мод елирования, а т ак же влия ние к олич ест ва к ласт еров т рещиноват ост и и к олич ест ва ест ест венных т рещин в ц елевом блок е на проанализ ировано образ ование иск усст венных переломов. Основные выводыз ак люч ают ся в след ующем:

(1) По мере увелич ения к олич ест ва к ласт еров т рещиноват ост и к олич ест во иск усст венных магист раль ных т рещин, образ овавшихся в ц елевом блок е, д емонст рирует з нач ит ель нуют енд енц июк увелич ению Од нак о под влия нием распред еления ест ест венных т рещин, геонапря жений и д ругих фак т оров т ак же может быть з ат руд нит ель но сформировать множест венные основные т рещиныпосред ст вом многок ласт ерного раз рыва в ц елевом блок е (Рисунок 9). След оват ель но, получ ение д анных о прост ранст венном расположении и ориент ац ии ест ест венных т рещин может быть более полез ным для т оч ной оц енк и эффектат рещиноват ост и ц елевого блок а.

- (2) Из-завлияния исходной случайной траек тории трещиноватости и естественных трещин гластаск лоннык возник новению я влений сдвиговой стимуляции. В этих условиях иск усственные трещины гластаск лонны к изгибам, разветвлениям и другим я влениям. При даль нейшем воздействии неск ольк их методов строительстваиск усственная основная трещина будет болееск лоннак одностворчатому расширению а нек двустворчатому расширению
- (3) К онструкция многокластерного ГРП может способствовать увеличению сети искусственных трещин, но при том же объеме закачки апертура искусственных трещин умень шится. Следовательно, соот ветствующее увеличение скорости закачки во время строительства нескольких кластеров будет более способствовать закачке проплантов и других материалов.
- (4) Увелич ение к олич ест ва ест ест венных т рещин в ц елевом блок е поможет получ ит ь более сложнуюсет ь иск усст венных т рещин. К огда к олич ест во ест ест венных т рещин д ост игает опред еленного порога, д аже исполь з ование проц есса пост роения однок ласт ерного разрыва может образоват ь иск усст веннуюсет ь т рещин, соед иненнуюнеск оль к ими основными т рещинами.

Вк лад авт оров: к онц епт уализ ац ия , YL и YG; к урирование данных, YG; приобрет ение финансирования , JL; расслед ование, YL, MW, HH, YG, YW и JL; мет од ология , МВт; ад минист рац ия проек т а, YL, HH и YG; ресурсы ДХ и JG; над з ор, YL, HH, YW и JG; пись менность – первонач аль ный вариант , МВт; написание — рец енз ирование и ред ак т ирование, YL и HH. Все авт орыпроч ит али опублик ованнуюверсиюрук описи и согласились с ней.

Финансирование: Авторывыражают благод арность за финансовую поддержку Открытому исследовательскому фонду Государст венной ключевой лаборатории геомеханик и и геотехнической инженерии Института механик и горных пород и грунтов К итайской академии наук, грант № SKLGME022020. Между тем, эта статья финансируется засчет научно-технического специального проекта PetroChina Co., Ltd. под названием «Исследования по крупномасштабному увеличению запасов, увеличению добыни, а также технология м разведки и разработки сланцевого газа» (№ 1). 2023 Институтельной проекта в также технология м разведки и разработки сланцевого газа» (№ 1).

Зая вление Инст ит уц иональ ного наблюдат ель ного совет а: неприменимо

Зая вление обинформированном согласии: неприменимо

Зая вление о дост упност и данных: исходные данные и к од, подт верждающие выводыэт ой стать и, будут предоставлены

К онфликтыинт ересов: Авторызая вля ют обот сутствии к онфликта интересов.

Рек омендации

- 1. Ву, М.; Лю, Дж.; Ль в, Х.; Ши, Д.; Чжу, З. Исслед ование уравнений гомогениз ац ии фрак т аль ньх порист ых сред. Дж. Геофиз. англ. 2018, 15, 2388–2398.
- 2. Чжэн Ю, Е е.; Хуанг, Л.; Бай, Ю, Ван, К.; Чен, В.; Ван, В. Исслед ование влия ния инженерных парамет ров на
 - проник новение т рещин гид рораз рыва ч ерез плоск ост и напласт ования при раз лич ных режимах распрост ранения. Вын ислить. Геот ех. 2022, 146, 104736.
- 3. Лю, К.; Ли, Дж.; Ля н, Б.; Лю, Дж.; Сан, В.; Он, Дж.; Лей, ЮМеханиз м з апуск а сложного повед ения смач иваемост и при пропит к е: А пост роение мод елей и сравнит ель ное исслед ование на основе анализа в неск оль к их масшт абах. Энергия 2023, 275, 127434.
- 4. Сонг, Р.; Лю, Дж.; К юи, М. Новый мет од рек онст рук ц ии мод ели ст рук т урированной сет к и по из ображения м мик рок омпь ют ерной т омог рафии Порист ье средыи их применение. Межд. J. Т епломассообмен. 2017, 109, 705–715.
- 5. Ван Л.; Чжоу, Дж.; Го, Ю, Песня , Х.; Го, В. Лаборат орнье исслед ования и оц енк а гид рораз рыва морск их пласт ов. сланц ев с уч ет ом множест ва геологич еск их и инженерных фак т оров. Перед ний. Наук и о Земле. 2022, 10, 952655.
- 6. Чжан Х.; Чен, Дж; Ли, З.; Хм.; Мэй, ЮЧисленное мод елирование многок ласт ерного гид рораз рыва с исполь з ованием з ависимост и от трехосност и Модель з онысцепления в сланцевом к оллек торе с минераль ной неод нород ностью Рок Мех. Рок англ. 2023, 57, 325–349.
- 7. Нгуен, ХТ; Ли, Дж. Х.; Элрайес, К.А. Обзор мод елирования гид рораз рьвов т ипа РКN. Дж. Пет. наук. англ. 2020, 195, 107607.

- 8. Т ис, CH; Венг, К. Глава 1. ГРП ст вола ск важиныи 2D-мод ели т рещин. В механик е гид рораз рыва пласт а, 2-е из д.; Gulf Professional Publishing: Бост он, Массач усет с, США, 2015 г.; ст р. 1–22.
- 9. Донц ов Е.В.; Пирс, А.П. Т ранспорт ировк а проплант а при гид рораз рыве пласт а: филь т рац ия вершин т решин в мод еля х КGD и РЗD. Межд. Дж. Ст рук т ура т вердых т ел. 2015, 63, 206–218.
- 10. Сант иль я н, Д; Хуанес, Р.; К уэт о-Фель геросо, Л. Модель фаз ового поля гидрод инамич еск ого раз рушения в упругих сред ах: погруженный раз рыв формулировк а и проверк а с помощь юзналит ич еск их решений. Дж. Геофиз. Рез. Т верд ая Земля 2017, 122, 2565–2589.
- 11. Сонг, Р.; Лю, Дж.; Ян, К.; Сан, С. Исслед ование механиз ма многофазного т епло- и массопереноса при д иссоц иац ии мет ана. гид рат в рек онструированных пористых отложения х реаль ной формы Энергия 2022, 254, 124421.
- 12. Сонг, Р.; Ван, Ю, Ишут ов С.; Самбрано-Нарваес, Г.; Ходдер, К. Дж.; Чалат урник, Р.Дж.; Солнце, С.; Лю, Дж.; Гамаге, РПА
 К омплек сное эк сперимент аль ное исслед ование механического поведения, мик рострук турыи транспортных свойств камня, напечатанного на 3D-принтере Аналоги. Рок Мех. Рок англ. 2020, 53, 5745–5765.
- 13. Го, К.; Сюй, Дж; Вэй, М.; Ц зя н Р. Эк сперимент аль ное исслед ование и ч исленное мод елирование гид рораз рыва плот ного песч аник а. рез ервуары Т опливо 2015, 159, 334–344.
- 14. Могадаси, Р.; Ростами, А.; Хеммат и-Сарапарде, А. Применение наножидк остей для борь быс миграцией мелк их частиц в гидравлическ их процессах. разрыв: эк сперимент аль ное исследование и понимание механизма. Адв. Геоэнергетическ ие ресурсы 2019, 3, 100-111.
- 15. Ян Р.; Ван, Ю Песня , Г.; Ши, Ю Мет од ыопт имив ац ил гид рораз рыва и т ермич еск ой эк ст рак ц ил в усовершенст вованных геот ермаль ных сист емах. Ад в. Геоэнергет ич еск ие ресурсы 2023, 8, 136–140.
- 16. Чен, Б.; Барбоз а, БР; Сан, Ю, Бай, Дж.; Т омас, НР; Дут к о, М.; К от т релл, М.; Ли, К . Обз ор гид рораз рыва пласт а Мод елирование. Арх. Вын ислить . Мет од ыангл. 2022, 29, 1–58.
- 17. Юнь Дж.; Ц зя н, Р.; Чжан В. Рабоч ий проц есс анализ а влия ния гид роразрыва на гориз онт аль нуюск важину с гид роразрывом произ вод ст во в сист еме формирования к омпозитов. Ад в. Геоэнергет ич еск ие ресурсы 2018, 2, 319–342.
- 18. Эсфандиари, М.; Пак , А. ХҒЕМ-мод елирование влияния пластовых напряжений нахарак теристик и гидроразрыва и сравнение с Мод ели К ГД и ПК Н. Дж. Пет. Исслед овать. Прод. Технол. 2023, 13, 185–201.
- 19. Хуанг, Л.; Лю, Дж.; Чжан, Ф.; Донц ов Е.; Дамь я нац, Б. Исследование влия ния присущей горной пород е неоднородност и и раз мера з ерен на гидроразрыв пласт а с исполь з ованием диск рет но-элемент ного моделирования. Межд. Дж. Структ ура Солидса. 2019, 176–177, 207–220.
- 20. Хуанг, Л.; Лю, Дж.; Чжан, Ф.; Фу, Х.; Чжу, Х.; Дамь я нац, Б. 3D решет ч ат ое мод елирование иниц иирования гид рораз рыва и приз абойной з оныск важины распрост ранение для различ ных мод елей перфорац ии. Дж. Пет. наук. англ. 2020, 191, 107169.
- 21. Чжу, Х.; Фэн, К.; Ченг, П.; Ван, Х.; Ли, С. Новая т рехмерная модель гидроразрыва пласта, основанная на континууммет од диск рет ных элемент ов. Вын ислить. Мет одыПрик л. Мех. англ. 2021, 383, 113887.
- 22. Ву, М.; Ц зя н, К.; Сонг, Р.; Лю, Дж.; Ли, М.; Лю, Б.; Ши, Д.; Чжу, З.; Дэн, Б. Сравнит ель ное исслед ование гид рораз рыва пласт а с исполь з ованием различ ное д иск рет ное мод елирование сет и т рещин: понимание од нород ных и неод нород ных к оллек т оров. англ. Фрак т . Мех. 2023, 284, 109274.
- 23. Хуанг, Л.; Донц ов Е.; Фу, Х.; Лей, Ю Венг, Д.; Чжан Ф. Рост высот ыгид рораз рыва в слоист ых горных пород ах: перспек т ива DEM-мод елирование раз лич ных режимов распрост ранения. Межд. Дж. Ст рук т ура Солид са. 2022, 238, 111395.
- 24. Хуанг, Л.; Тан, Дж; Фу, Х.; Лю, Дж; Чен, Х.; Ля о, Х.; Ван, Х.; Ван, К. Неплоск ий механиз м иниц иирования и распрост ранения множест венные гид рораз рывыв плот ных к оллек т орах с уч ет ом эффек т ов т ени напря жений. англ. Фрак т . Мех. 2023, 292, 109570.
- 25. Ву, М.; Чжан, DM; Ван, WS; Ли, МХ; Лю, С.М.; Лу, Дж.; Гао, Х. Численное мод елирование гид рораз рыва пласт а на основе двумерная рек онст рук ц ия морфологии поверхност ного раз рушения и к омбинированный мет од к онеч ных диск рет ных элемент ов. Дж. Нэт. Газ овая наук а. англ. 2020,
- 26. Ву, М.; Ван, В.; Чжан, Д.; Дэн, Б.; Лю, С.; Лу, Дж.; Луо, Ю. Чжао, В. Мет од пик сель ной рек онст рук ц ии т решин: от раз рушения из ображение для геологич еск ой мод ели т рещиныдля мод елирования раз вит ия т рещин. К онст р. Ст роит ь . Мат ер. 2020, 273, 121733.
- 27. Ву, М.; Ван, В.; Песня , З.; Лю Б.; Фэн, К. Исслед ование влия ния неод нород ност и на гид рораз рыв пласт а на основе к омбинированный к онеч но-диск рет ный мет од. англ. Фрак т . Мех. 2021, 252, 107835.
- 28. Лю К.; Сан, Л.; Лю П.; Чен, Л. Мод елирование од новременного множест венного раз ръва пласт а с исполь з ованием к омбинированного к онеч но-д иск рет ного элемент а Мет од. Геофлюид с 2018, 2018, 4252904.
- 29. Ружь е, Э.; Мунджиз а, А.; Лей, З.; Чау, ВТ; Найт, Э.Э.; Хант ер, А.; Сринивасан, Г. К омбинированный пласт ич еск ий и диск рет ный перелом. деформац ионный к арк ас для FDEM. Межд. Дж. Нумер. Мет одыангл. 2019, 121, 1020–1035.
- 30. Ян, К.; Цзя о, ЮЮ, Чжэн, Х. Полность юсвя занный трехмерный гидромеханич еский подход с исполь зованием конечных дискретных элементов среальными поровая филь трация для моделирования 3D ГРП. Вын ислить. Геотех. 2018, 96, 73–89.
- 31. Ву, 3.; Сан, X.; Вонг, LNY. Численный мет од многообразия на основе к огез ионных элемент ов для мод елирования гид рораз рыва пласт а с Вороным Зерном. Рок Мех. Рок англ. 2019, 52, 2335–2359.
- 32. Ву, М.; Гао, К.; Лю Дж.; Песня, З.; Хуанг, Х. Влия ние неод нород ност и горных пород на гид рораз рыз пласт а: парамет рич еск ое исслед ование с исполь з ованием к омбинированный мет од к онеч ных диск рет ных элемент ов. Межд. Дж. Ст рук т ура Солид са. 2022, 234–235, 111293.
- 33. Ву, 3.; Сий, X.; Лю, К.; Ян, ЮМет од численного многообразия на основе к огезионных элемент ов нулевой толщиныдля расчета механических свойст в горных пород. поведение с мих розернами Вороного. англ. Аналь ный. Граница. Элем. 2018, 96, 94–108.
- 34. Шарафисафа, М.; Алиабадя н З.; Сат о, А.; Шен, Л. К омбинированное к онеч но-диск рет но-элемент ное мод елирование г ид рораз ръва пласт а в рез ервуарыс з аполненными швами. Геоэнергет ич еск ие наук и. англ. 2023, 228, 212025.
- 35. Ши, Ф.; Ван, Д.; Ли, Х. Под ход на основе XFEM для т рехмерного мод елирования гид рораз рыва с уч ет ом сегмент ац ии фронт а т рещины Дж. Пет. наук. англ. 2022, 214, 110518.

- 36. К рамер, Д.; Фрихауф, К.; Роберт с, Г.; Уит так ер. Дж. Инт еграц ия DAS, анализа давления обработ к и и перфорац ии на основе вид ео Визуализац ия для оценк и эффект ивност и лечения с ограниченным дост упом. В материалах SPE «Технология ГРП» К онференц ия и выставка, Вудлендс, Техас, США, 5–7 февраля 2019 г.; п. Д031С007Р001.
- 37. Чен, Х.; Мэн, Х.; Ню Ф.; Тан, Ю, Инь , К.; Ву, Ф. Мик росейсмический мониторингстимулирующего резервуарасланцевого газанаюто-западе Китая:
 - 2. Прост ранст венная к ласт еризац ия, к онт ролируемая ранее сущест вовавшими разломами и т рещинами. Дж. Геофиз. Рез. Т верд ая Земля 2018, 123, 1659–1672.
- 38. Оу, К.; Ля, н, К.; Ли, З.; Луо, Л.; Ян, Х. 3D-визуализац ия т рещин гидроразрыва с исполь зованием мик росейсмич еск ого монит оринга: мет од ология и приложение. Нефт ь 2022, 8, 92–101.
- 39. Лу, 3.; Ц з я , Ю, Ченг, Л.; Пан, 3.; Сюй, Л.; Он, П.; Го, Х.; Оуя н, Л. Мик росейсмич еск ий монит оринг распрост ранения гид рораз рыва и сейсмич еск ие риск и в сланц евом к оллек т оре с к рут ым углом пад ения . Нат . Ресурс. Рез. 2022, 31, 2973–2993.
- 40. Шан, Х.; Лонг, С.; Дуан, Т. Сист ема т рещин в к оллек т оре сланц евого газа: перспек т ивыопред еления харак т ерист ик и мет од ов мод елирования. Дж. Нат. Газовая геофизика. 2021, 6, 157–172.
- 41. Ли, Ю Ченг, Швейц ария; Т ок соз, М.Н. Сейсмич еск ий монит оринг рост а з оныг ид рораз рыва в Фент он-Хилл, Нь юМек сик о. Геофиз ик а 1998, 63, 120–131.
- 42. Дах и Т алегани, А.; Гонсалес-Чавес, М.; ЮХ.; Асала, Х. Численное мод елирование распрост ранения т рещин г ид рораз ръва в ест ест венных условия х. т рещиноват ъх гласт ов с исполь з ованием мод ели з онысц епления . Дж. Пет . наук . англ. 2018, 165, 42–57.
- 43. Ван X. Распрост ранение гид равлич еск их т рещин в к оллек т орах с ест ест венной т рещиноват ост ь ю сложные т рещиныили сет и т рещин. Дж. Нэт . Газ наук . англ. 2019, 68, 102911.

От к аз от от вет ст венност и/Примеч ание издателя: Зая вления, мнения и данные, содержащиеся во всех публикациях, принадлежат исключитель но отдель ному автору(ам) и участникам(ам), а не MDPI и/или редактору(ам). MDPI и/или редактору(ы) не несут ответ ст венност и за любой вредлюдя мили имущест ву, возник ший в результателюбых идей, методов, инструкций или продуктов, упомянутых в контенте.